

Anéis de crescimento e dinâmica de populações

Giuliano M. Locosselli

Divisão de Funcionamento de Ecossistemas Tropicais
locosselli@cena.usp.br

Afinal, por que estudar árvores?

Afinal, por que estudar árvores?



Afinal, por que estudar árvores?



Afinal, por que estudar árvores?



Afinal, por que



Afinal, por que estudar árvores?



Run Forest, Run



Afinal, por que estudar árvores?



Afinal, por d



Afi



Afi



Dinâmica de população de árvores

Crescimento



Reprodução



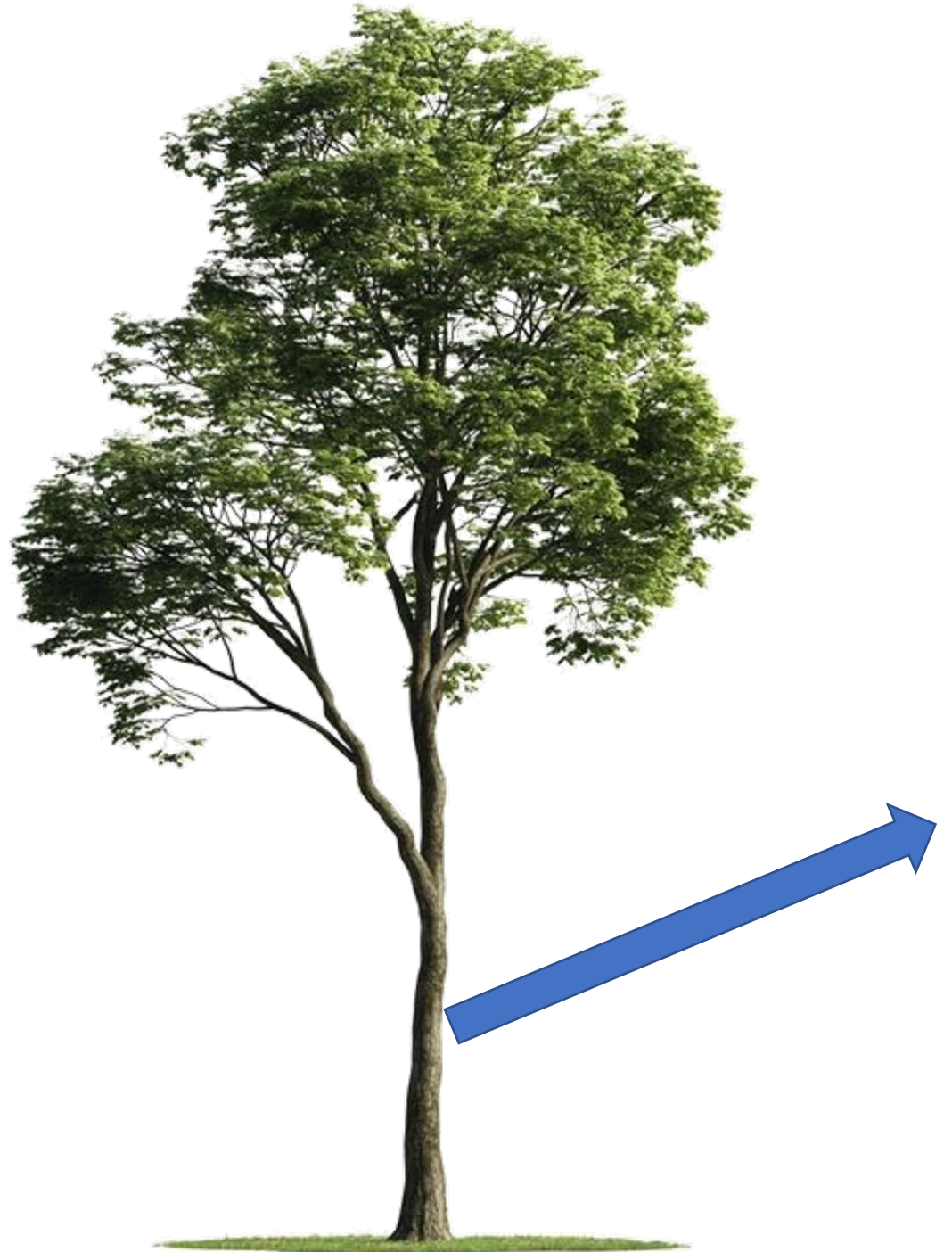
Recrutamento



Mortalidade



Auto-biografia



Plântula

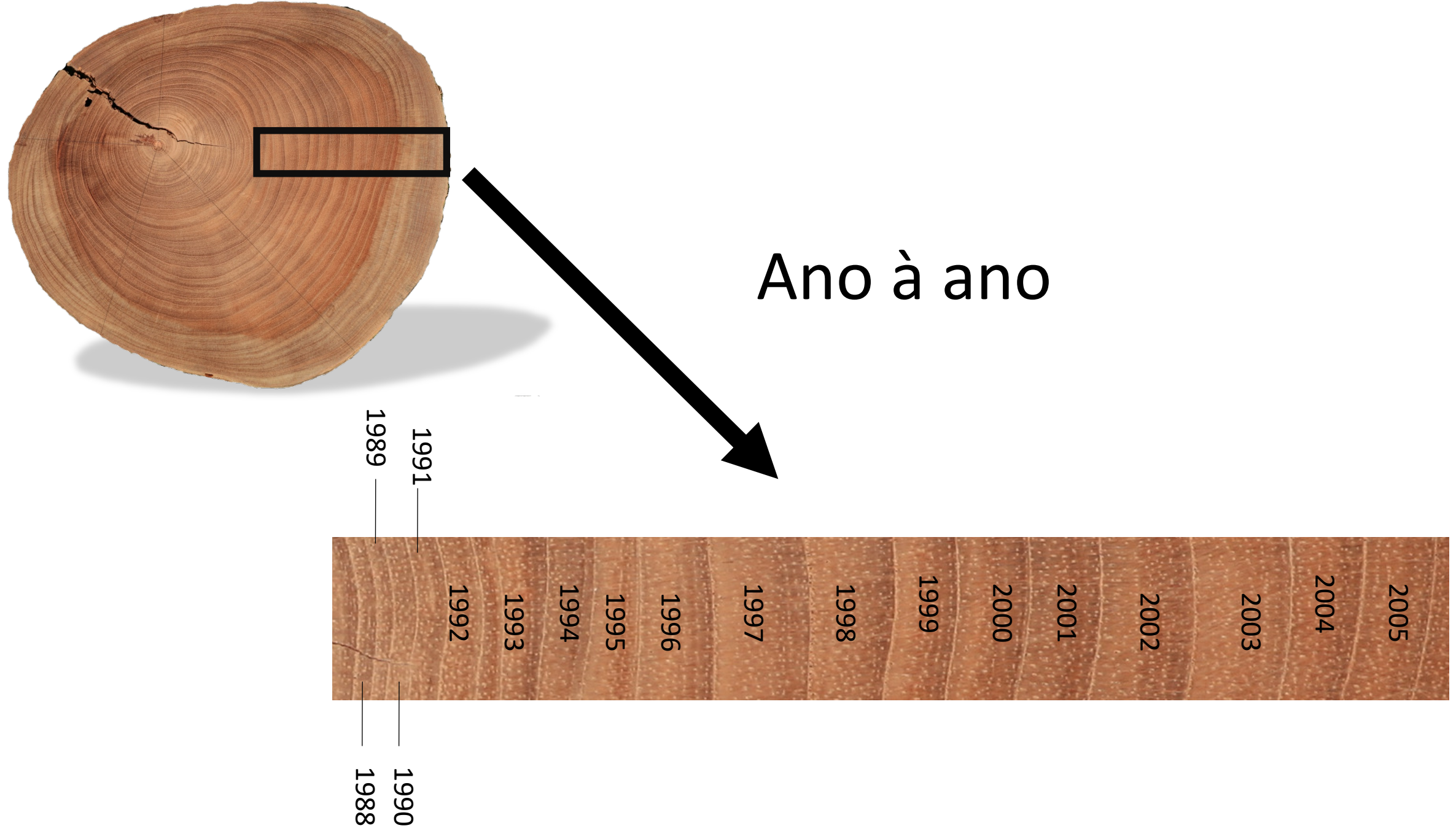




Indivíduo jovem

Indivíduo maduro





Qual a sua idade?

Qual a sua idade?



Qual a sua idade?



Qual a sua idade?



©Dave Coverly. All rights reserved.

thecomicstrips.com



Pinus longeva

Até 4833 anos de idade



Fitzroya cupressoides

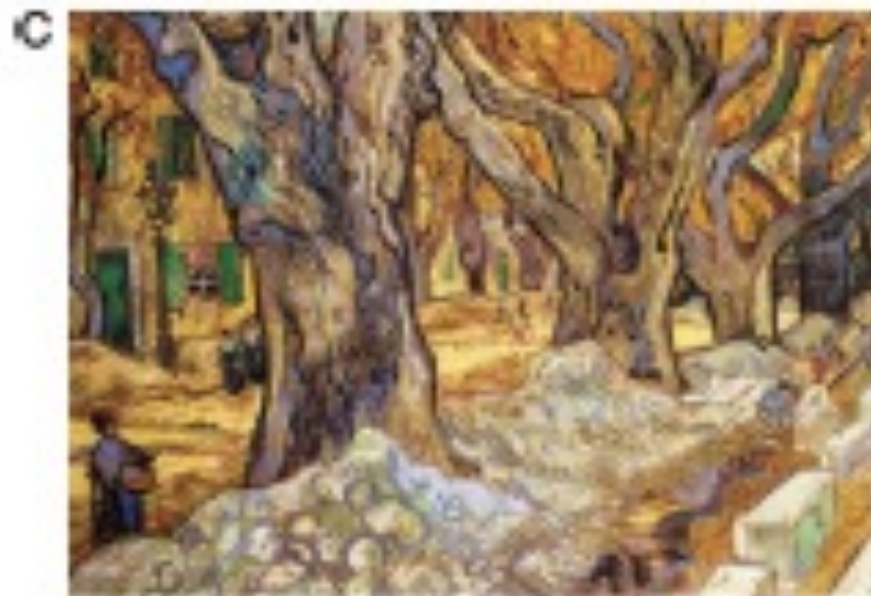
Estimado em 5484 anos de idade, com 80% de chance de ter mais de 5000 anos



Dr Jonathan Barichivich



Camille Coveti
Florença
Itália
1835



Van Gogh
Saint-r'emy-de-Provence
França
1889



K. Hokusai
Província de Kai
Japão
1826



Huc-Mazelet Luquiens'
Hawaii
1922



Cariniana legalis (Lecythidaceae)



Ceiba pentandra (Malvaceae)



Polylepis tarapacana
(Rosaceae)

Quem é mais velha?



Ceiba pentandra (Malvaceae)

X



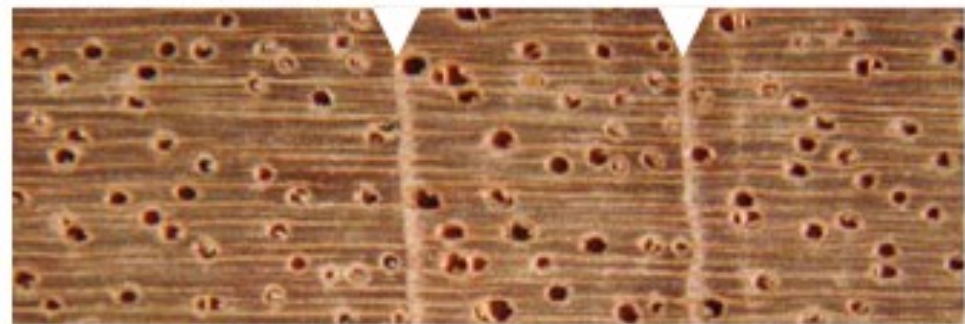
arborea.proyungas.org.ar

Polylepis tarapacana
(Rosaceae)

(a) Differences in vessel distribution
Amburana cearensis



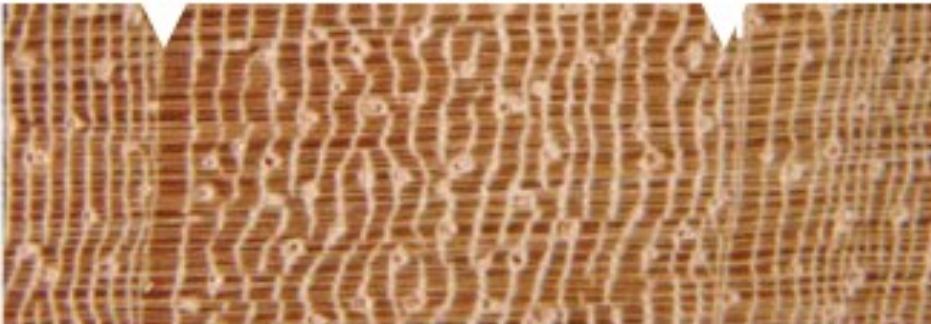
(c) Marginal parenchyma bands
Cedrela odorata



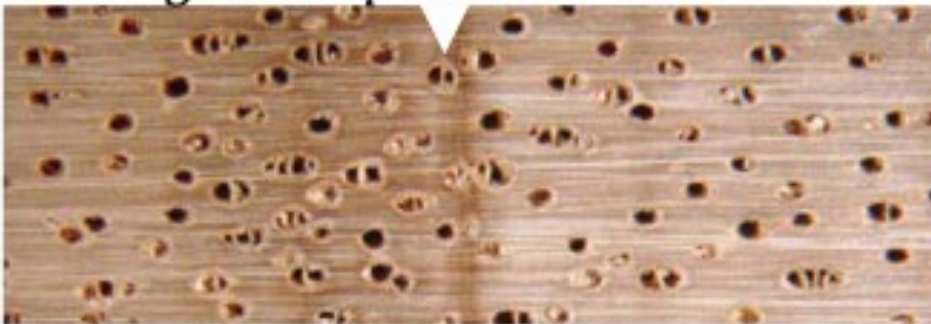
(e) Variation in wood density
Cordia alliodora



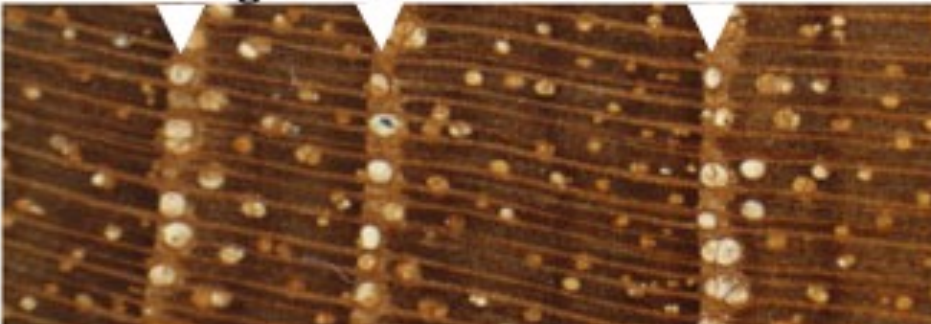
(b) Alternating parenchyma bands
Bertholletia excelsa



(d) Variation in wood density
Tachigali vasquezii



(f) (Semi) ring porous
Tectona grandis



Cedrela fissilis (MELIACEAE)



Roupala montana (PROTEACEAE)



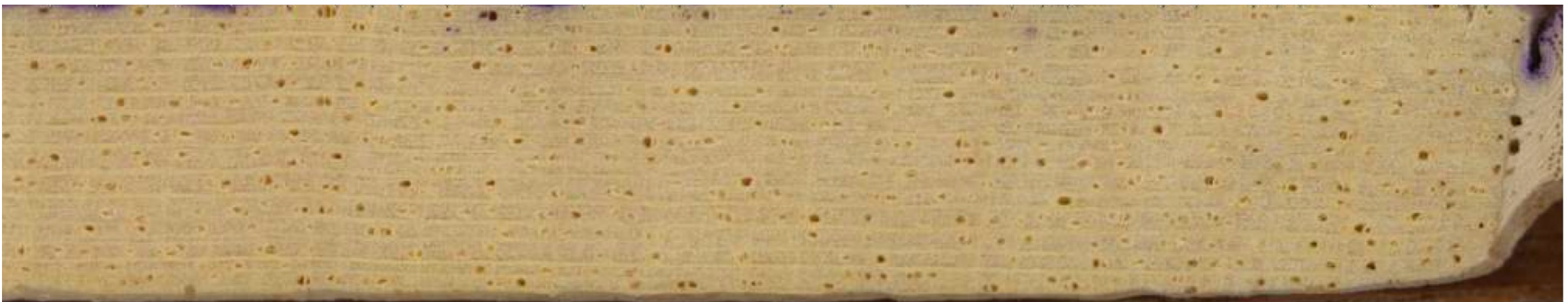
Cedrela fissilis (MELIACEAE)

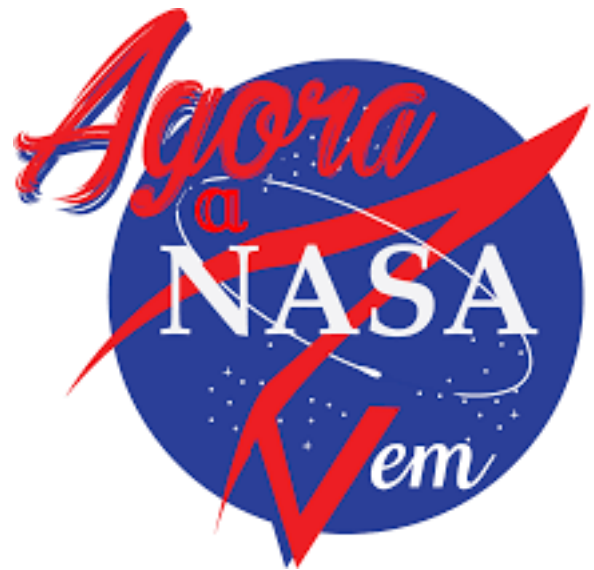


Roupala montana (PROTEACEAE)



Cavalinesia arborea





Cavalinesia arborea



meuzapzap.com



[/br.ifunny.co](http://br.ifunny.co)

Godoy-Veiga et al. 2019 Dendrochronologia

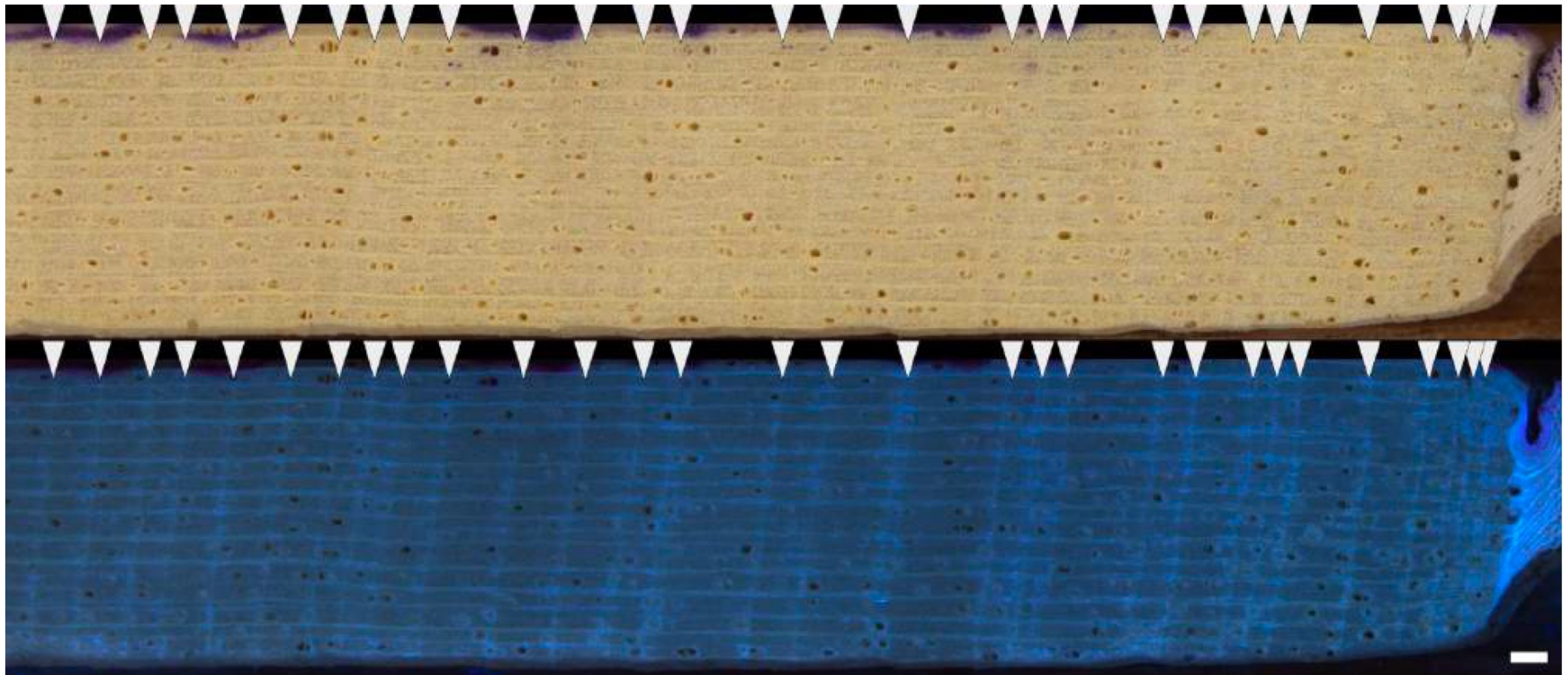
Cavalinesia arborea



Godoy-Veiga et al. 2019 Dendrochronologia

Cavalinesia arborea

Natural light



UV

Aspidosperma piryfolium

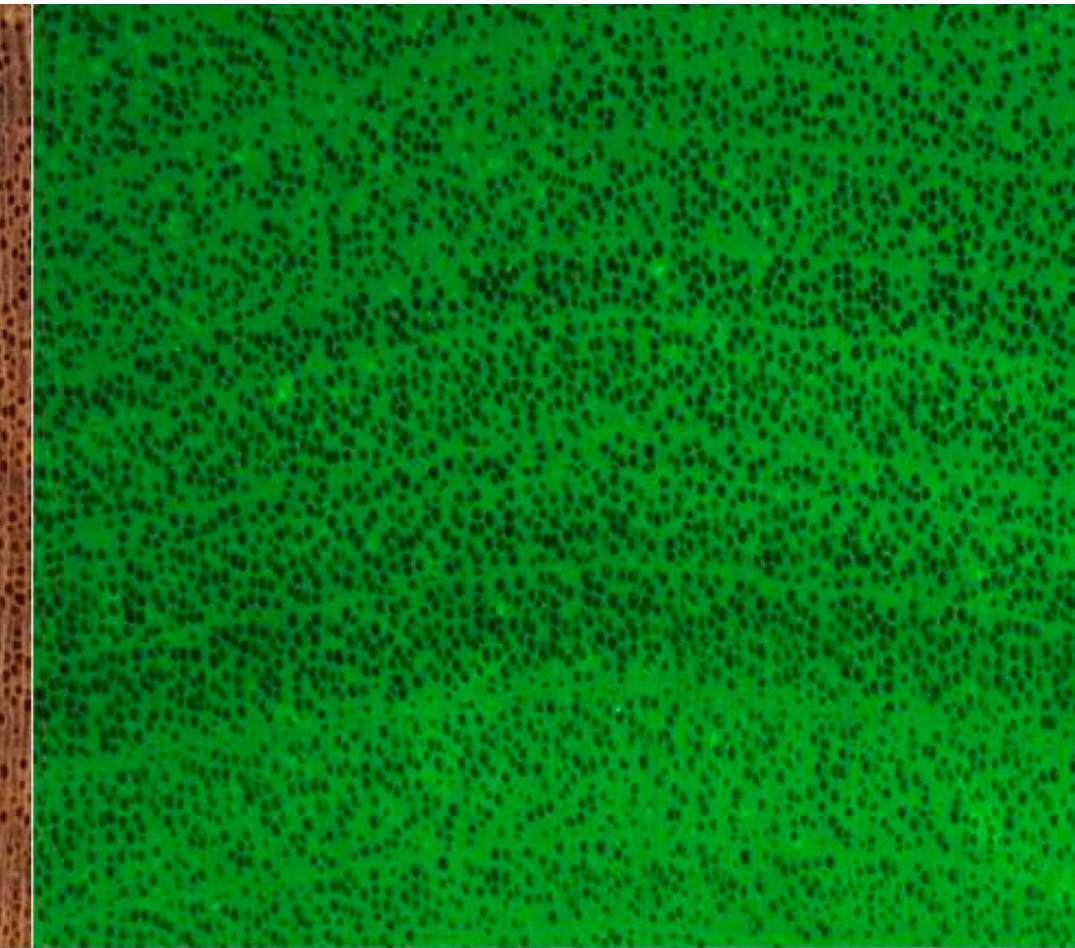


Aspidosperma piryfolium

Natural light



Green fluorescence protein – highlights lignin

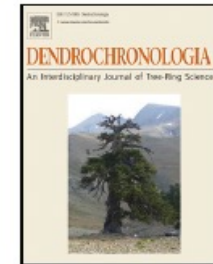




Contents lists available at ScienceDirect

Dendrochronologia

journal homepage: www.elsevier.com/locate/dendro



Improved tree-ring visualization using autofluorescence

Milena Godoy-Veiga^{a,1}, Franziska Slotta^{b,1}, Paula Christiani Alecio^a, Gregório Ceccantini^a, Marcos Silveira Buckeridge^a, Giuliano Maselli Locosselli^{a,*}



^a University of São Paulo, Institute of Biosciences, Department of Botany, Rua do Matão 277, 05508-090, São Paulo, Brazil

^b Free University of Berlin, Institute of Geological Sciences, Department of Earth Sciences, Malteserstrasse 74-100, 12249 Berlin, Germany

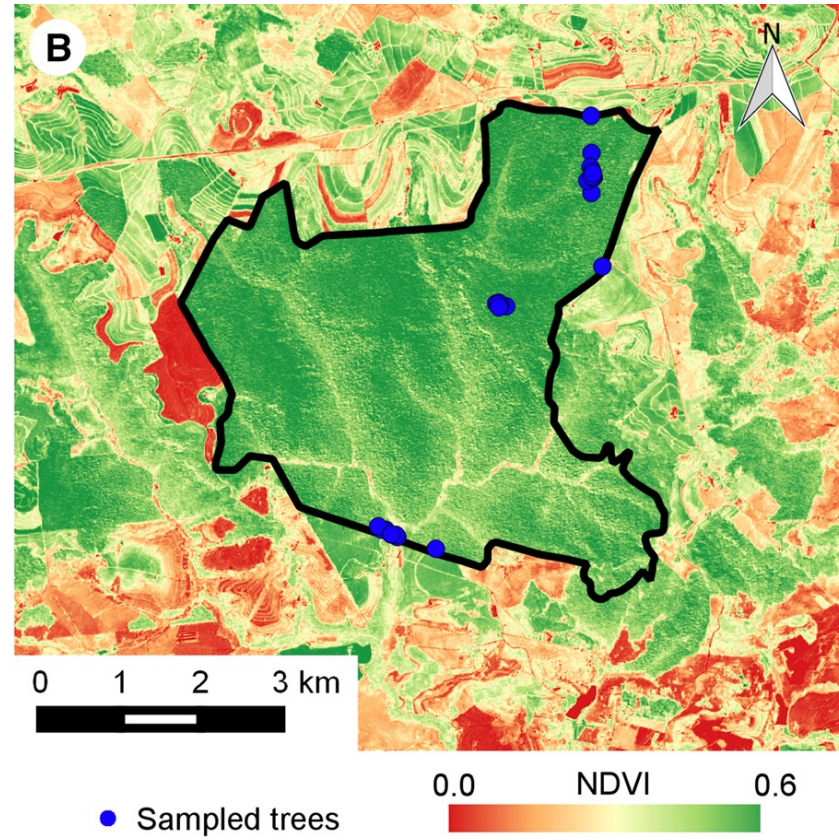
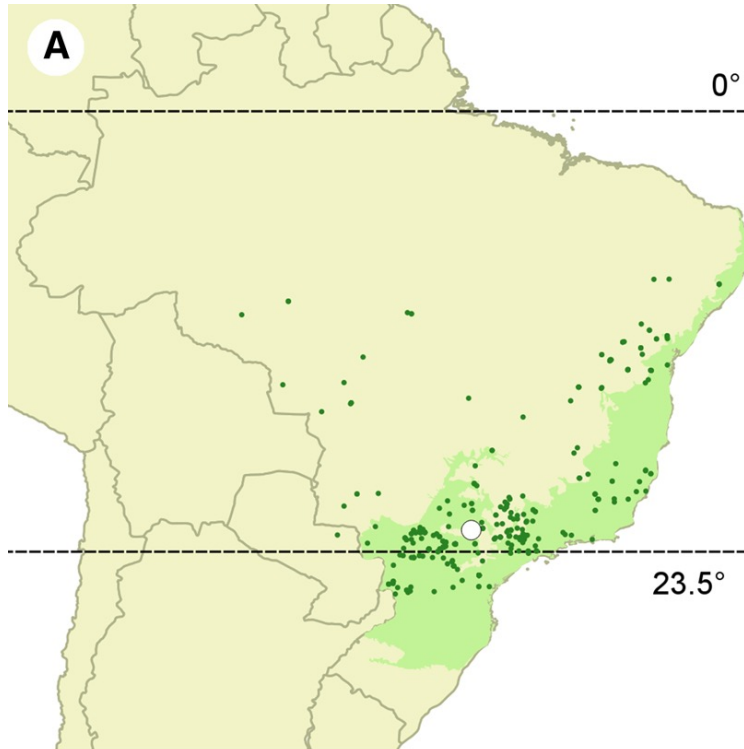
ARTICLE INFO

Keywords:

ABSTRACT

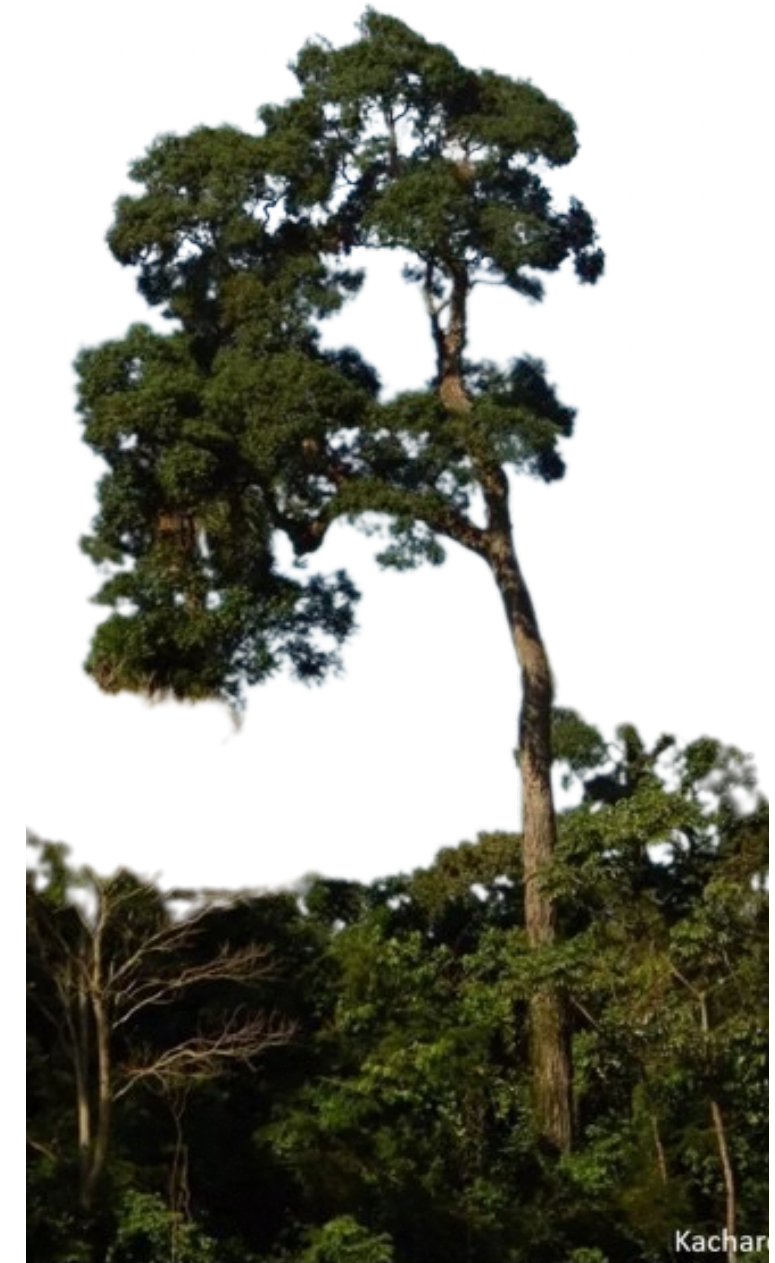
The great diversity of wood anatomical features found in trees worldwide results in a broad variety of growth



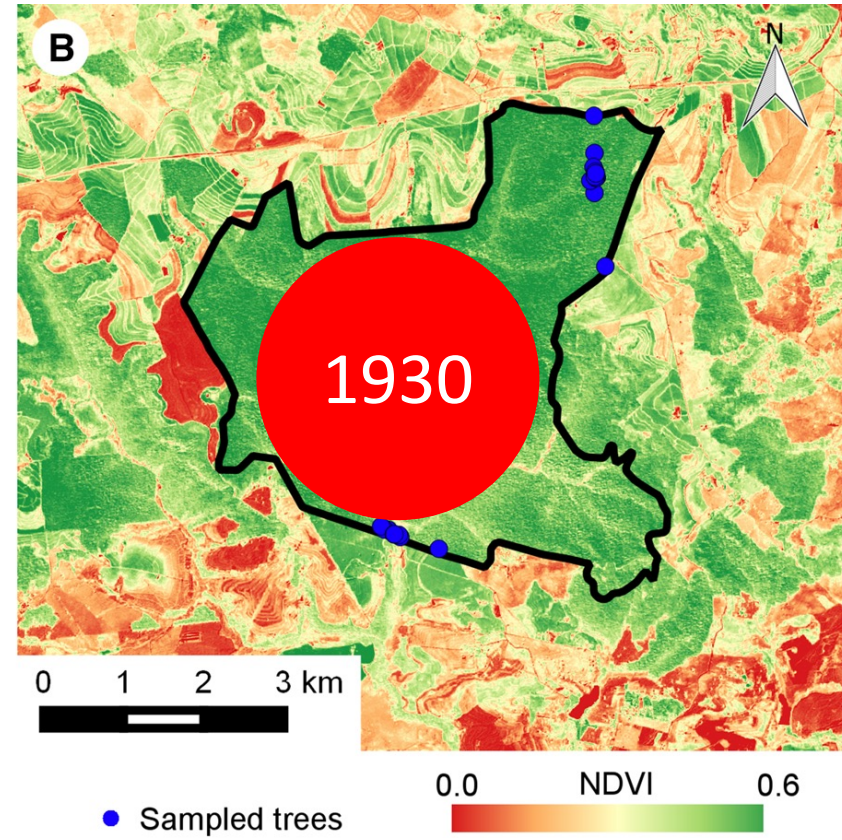
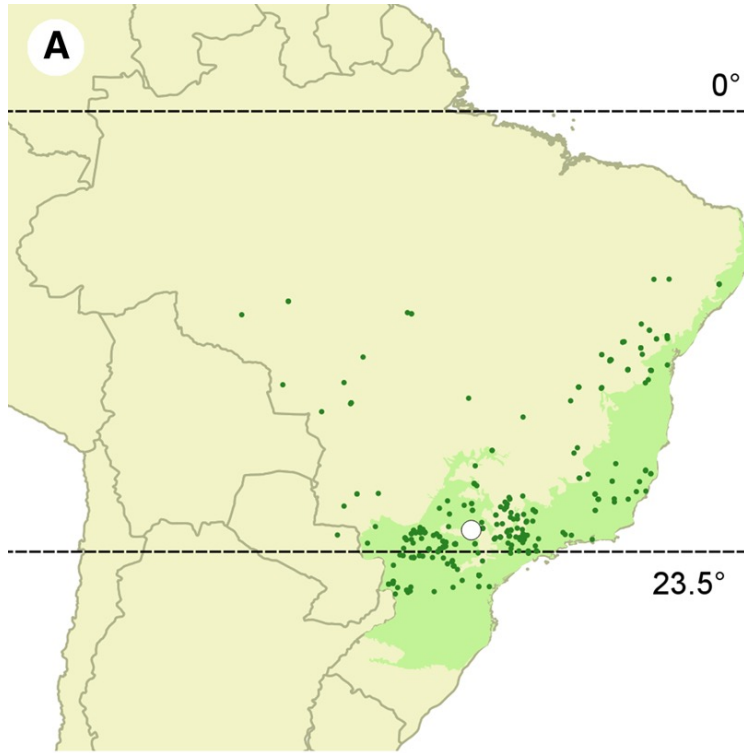


■ Atlantic rainforest • *A. polyneuron* ○ Caetetus

● Sampled trees

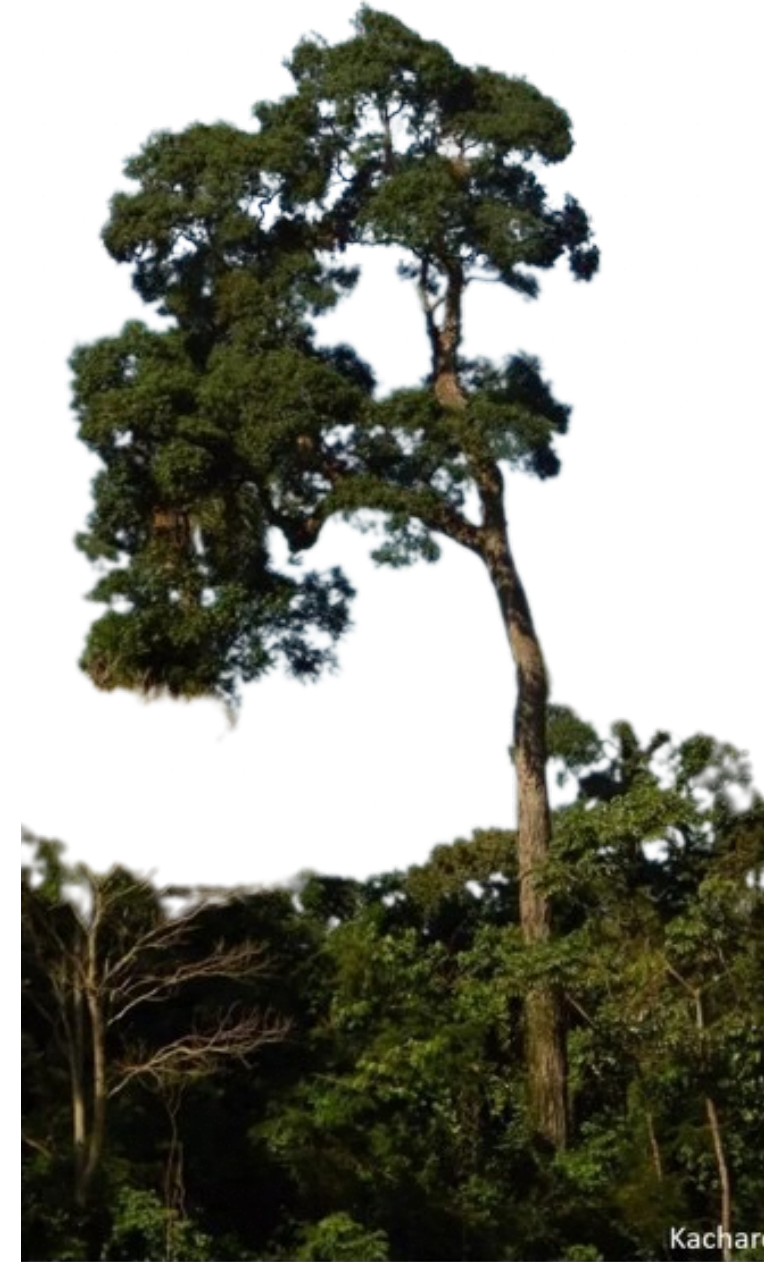


Aspidosperma polyneuron

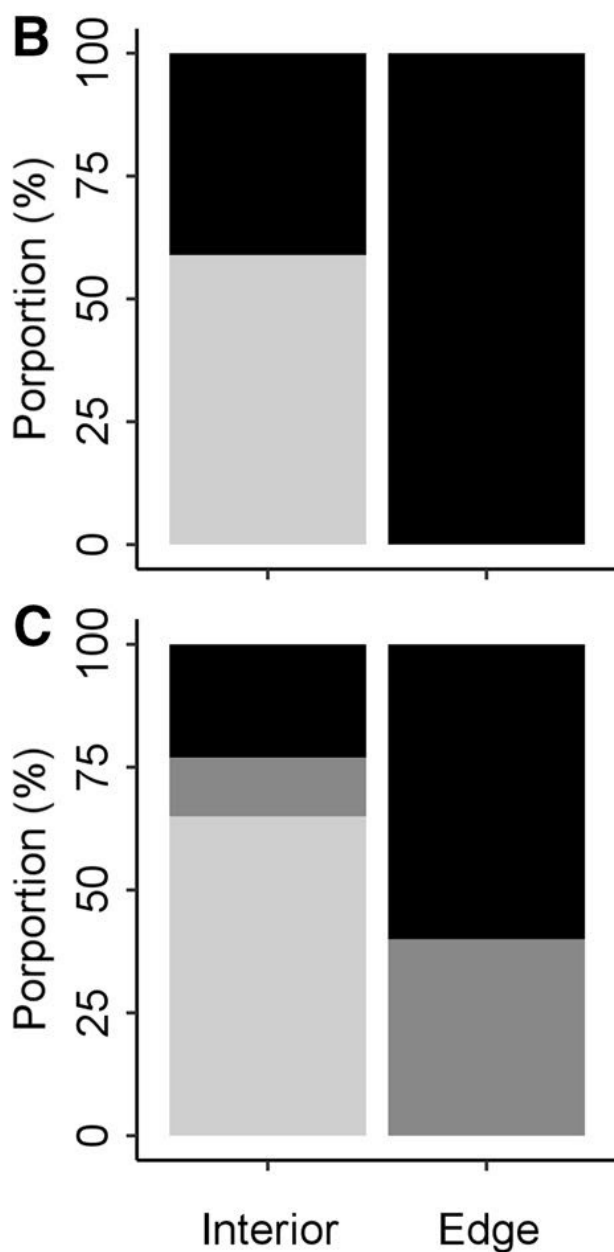


■ Atlantic rainforest • *A. polyneuron* ○ Caetetus

● Sampled trees



Aspidosperma polyneuron



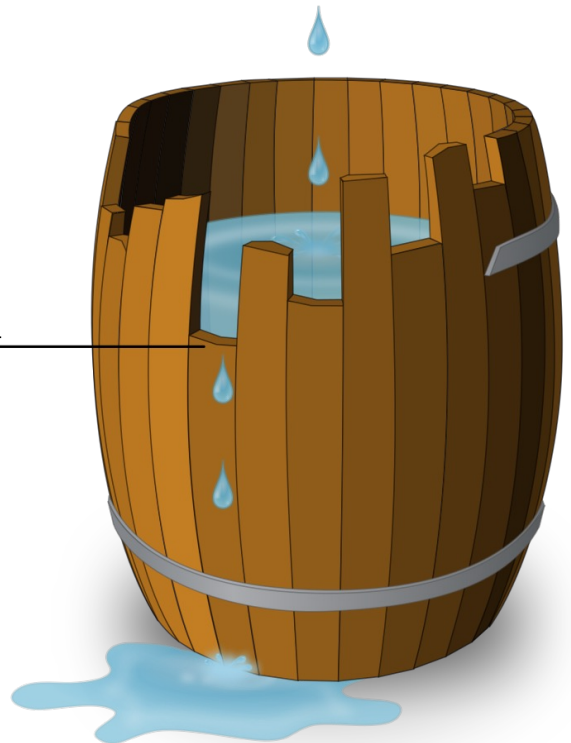
■ Lianas
■ No lianas

Minimum

■ Heavily infest.

■ Infested

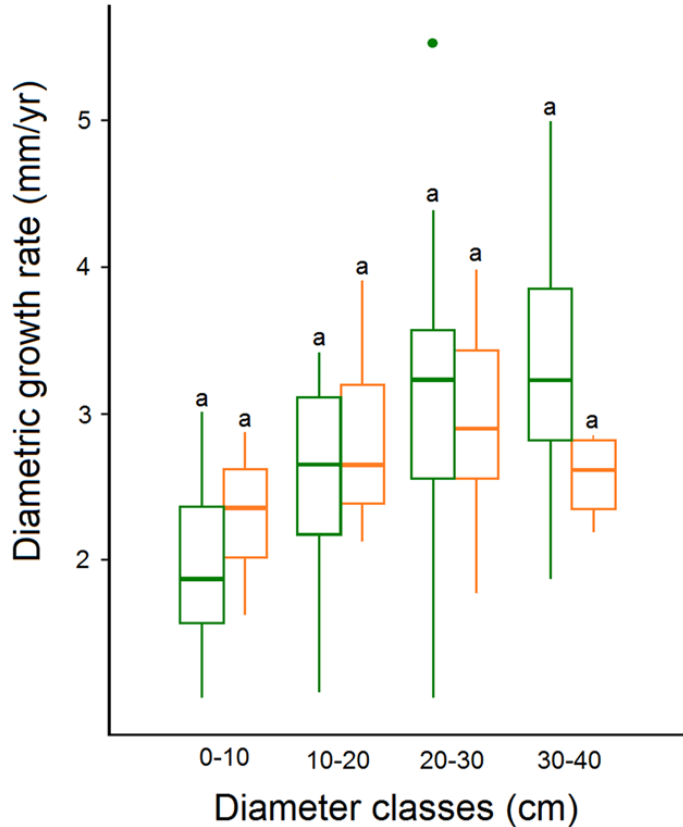
■ Lightly infest.



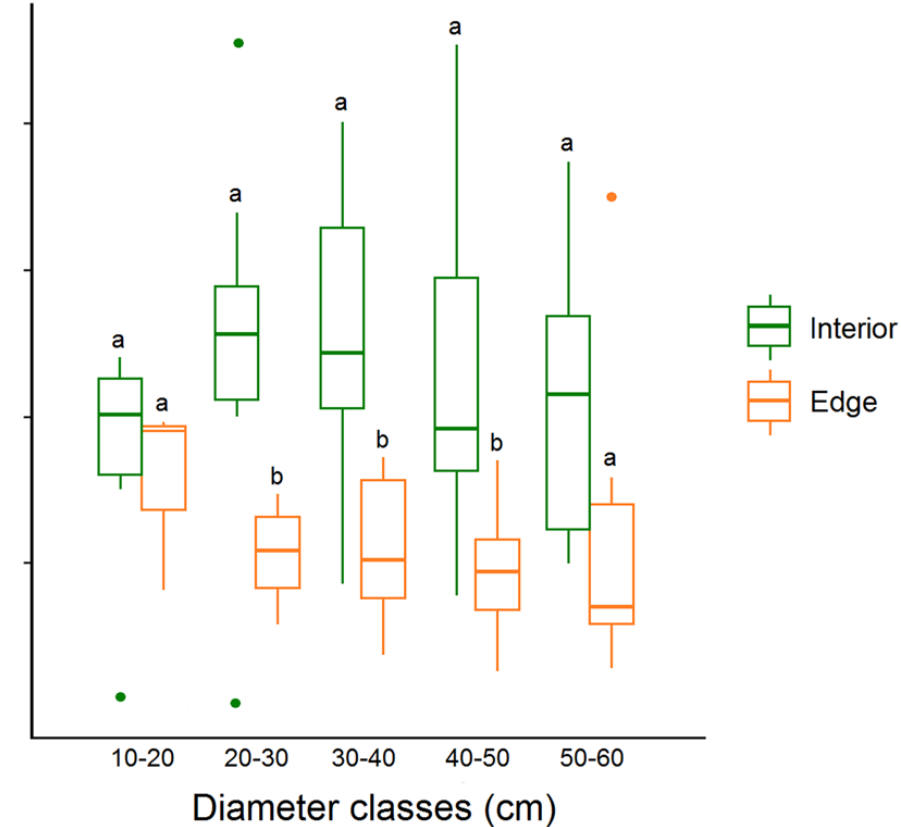
Lei de Liebig

A**B**

Before fragmentation



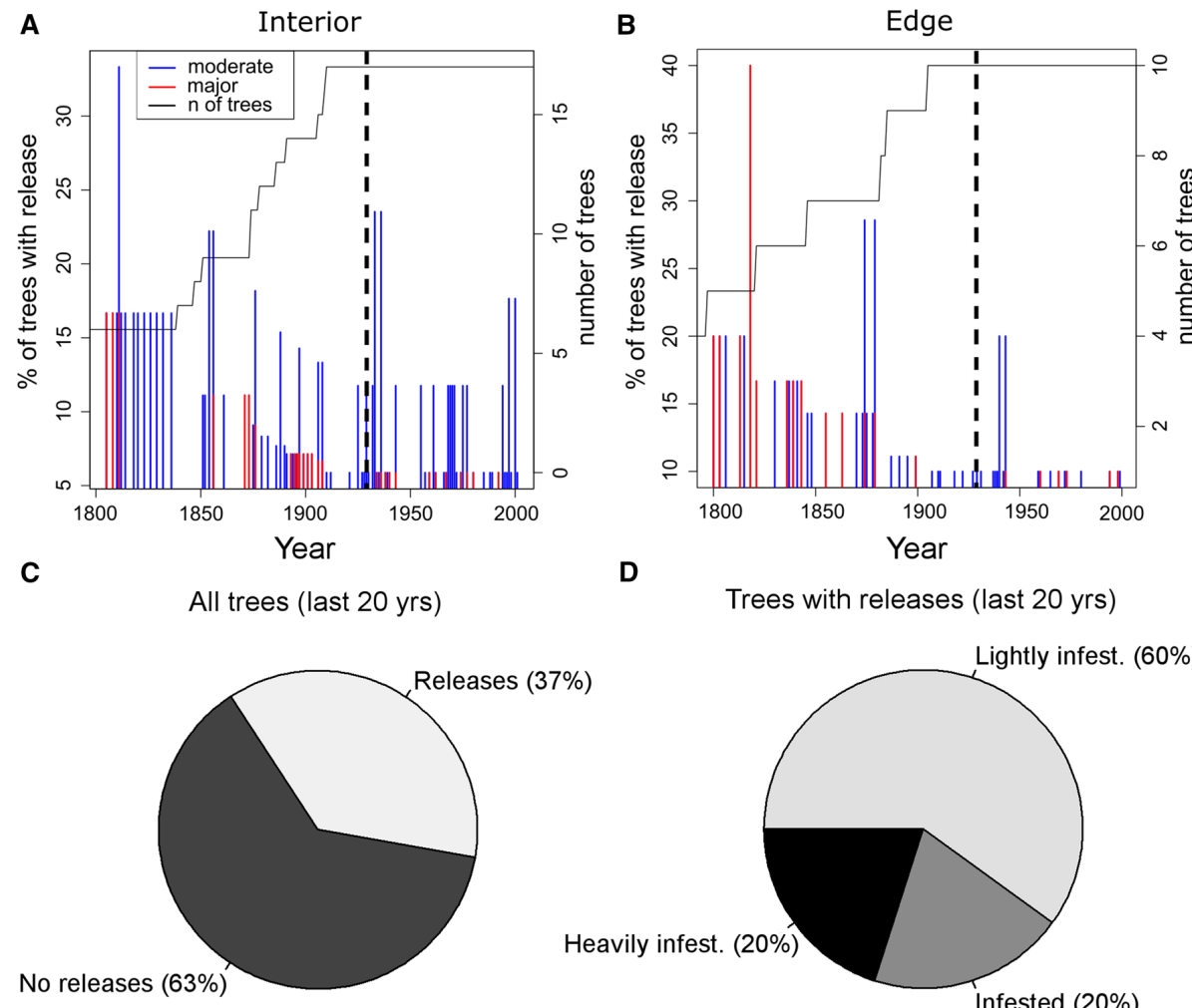
After fragmentation



Godoy-veiga et al 2018 Trees, Structure and Function 32: 1073-1082

Interior

Edge

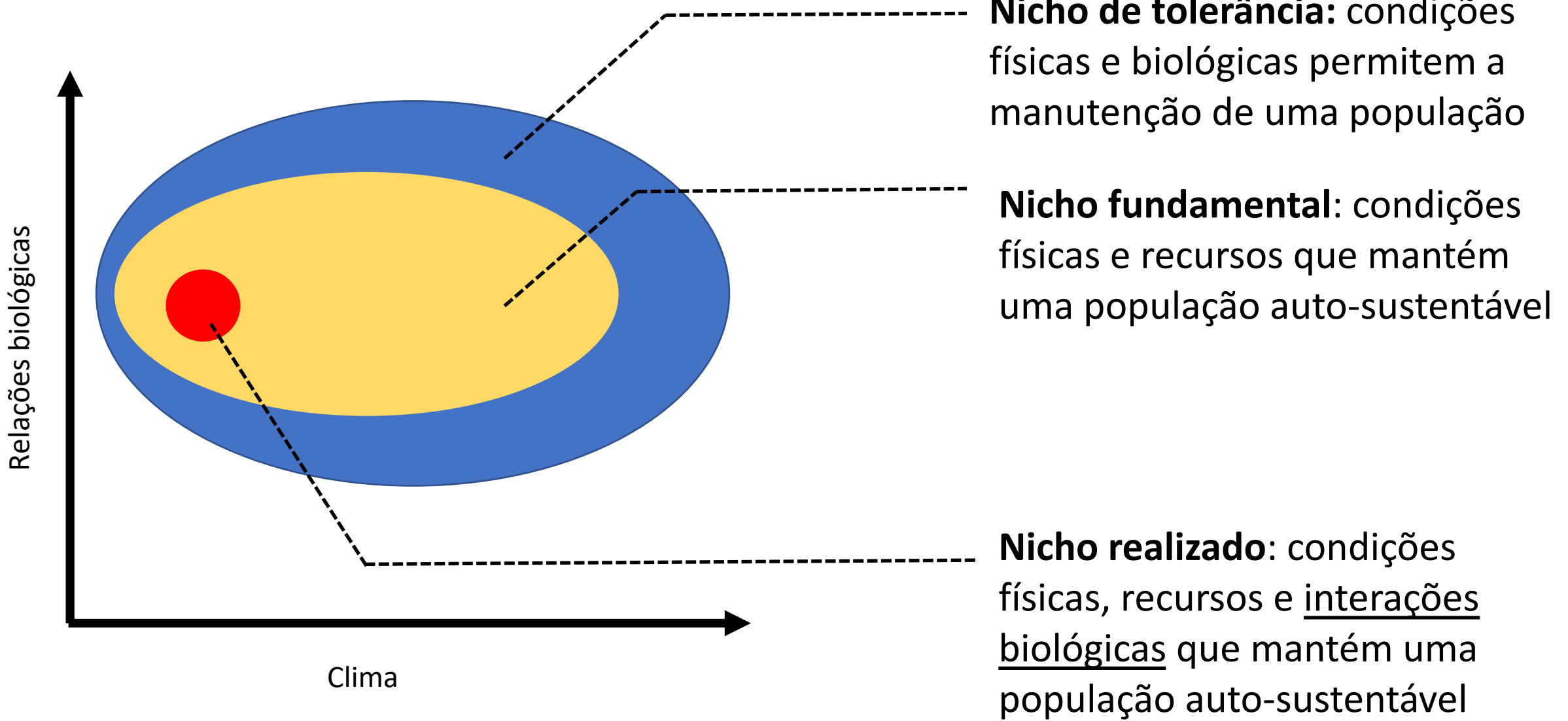
A

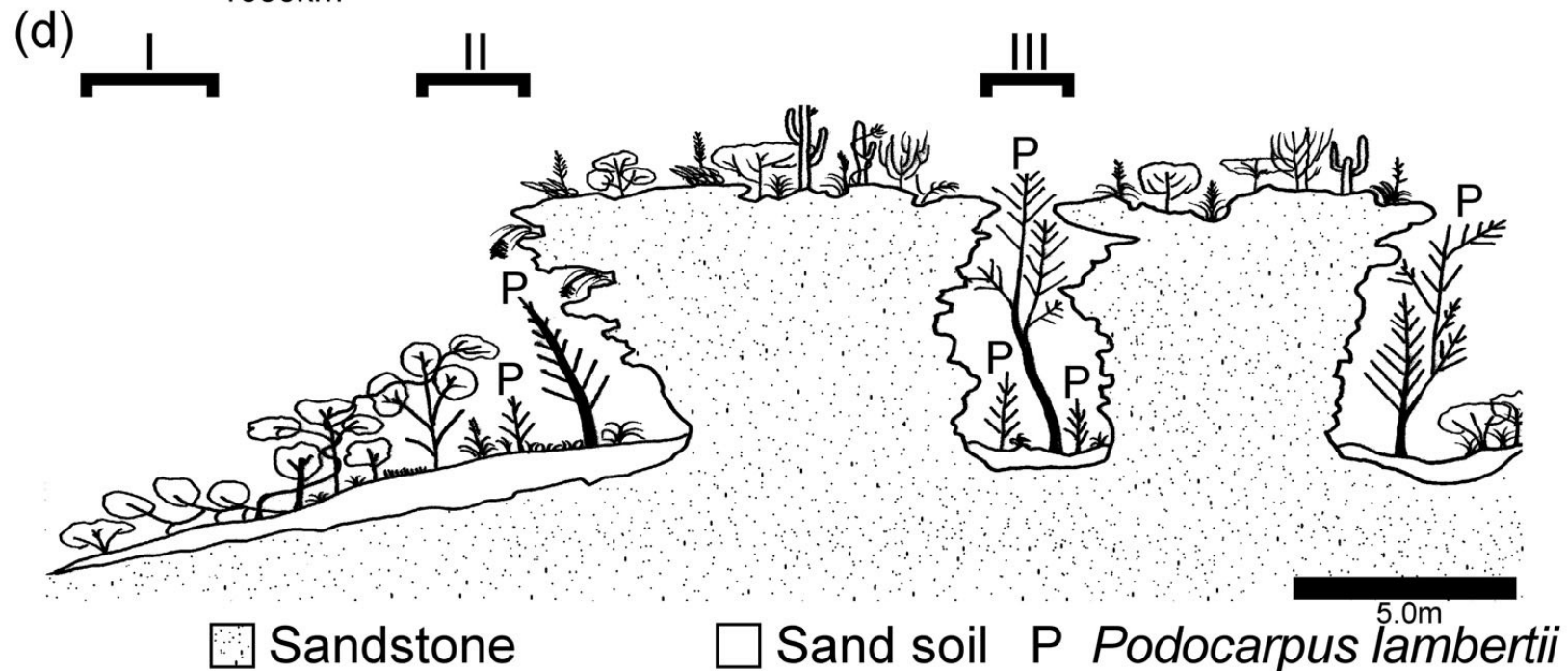
Godoy-veiga et al 2018 Trees, Structure and Function 32: 1073-1082

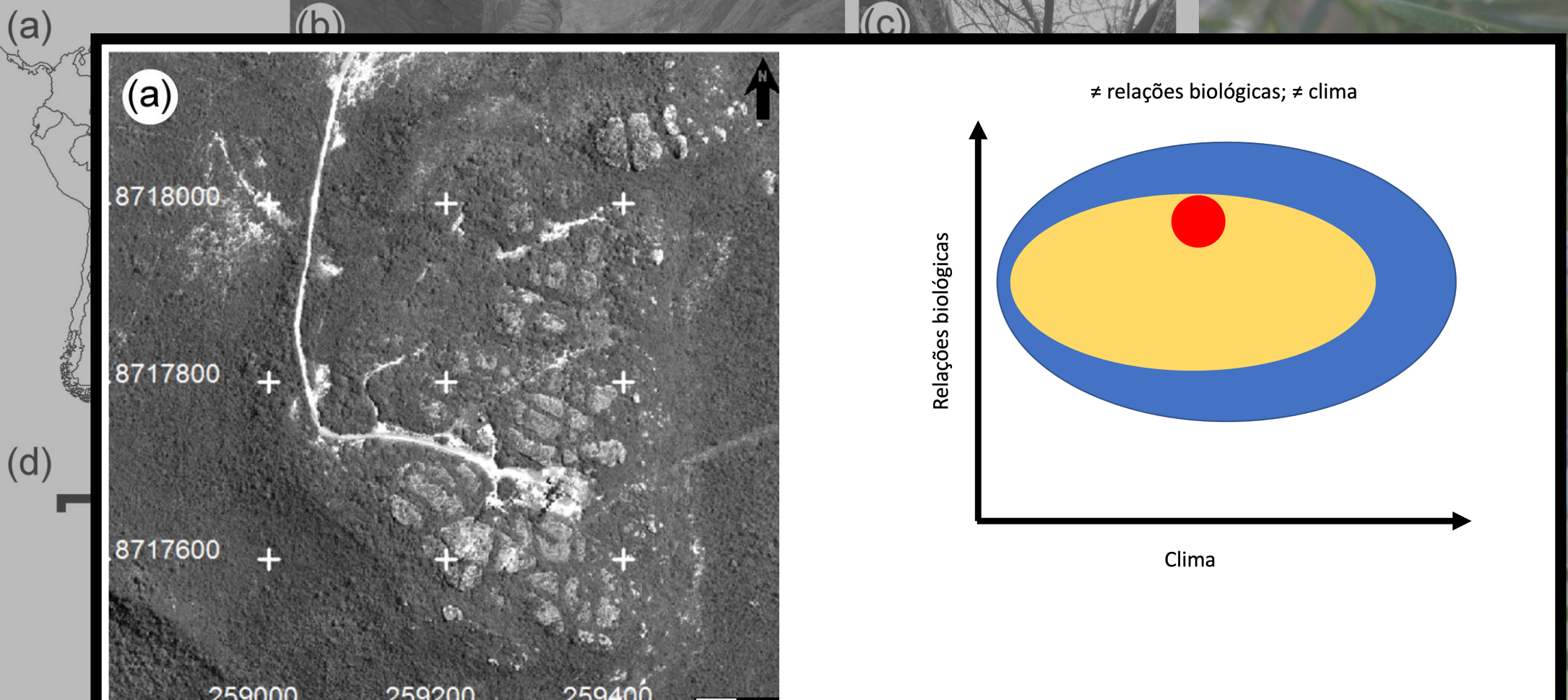
Interior

Edge

Nichos ecológicos







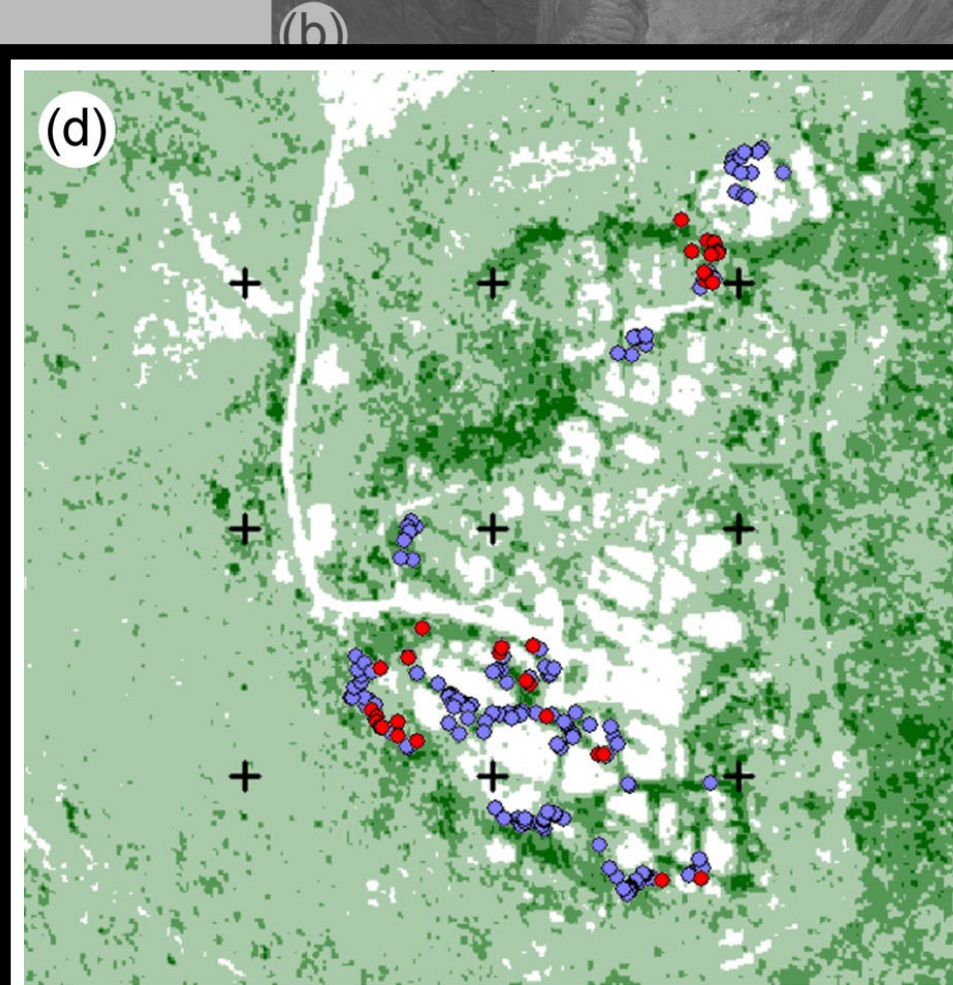
Locosselli et al 2016 International Journal of Biometeorology 60: 639-649

Sandstone

Sand soil P *Podocarpus lambertii*



(d)



(a)

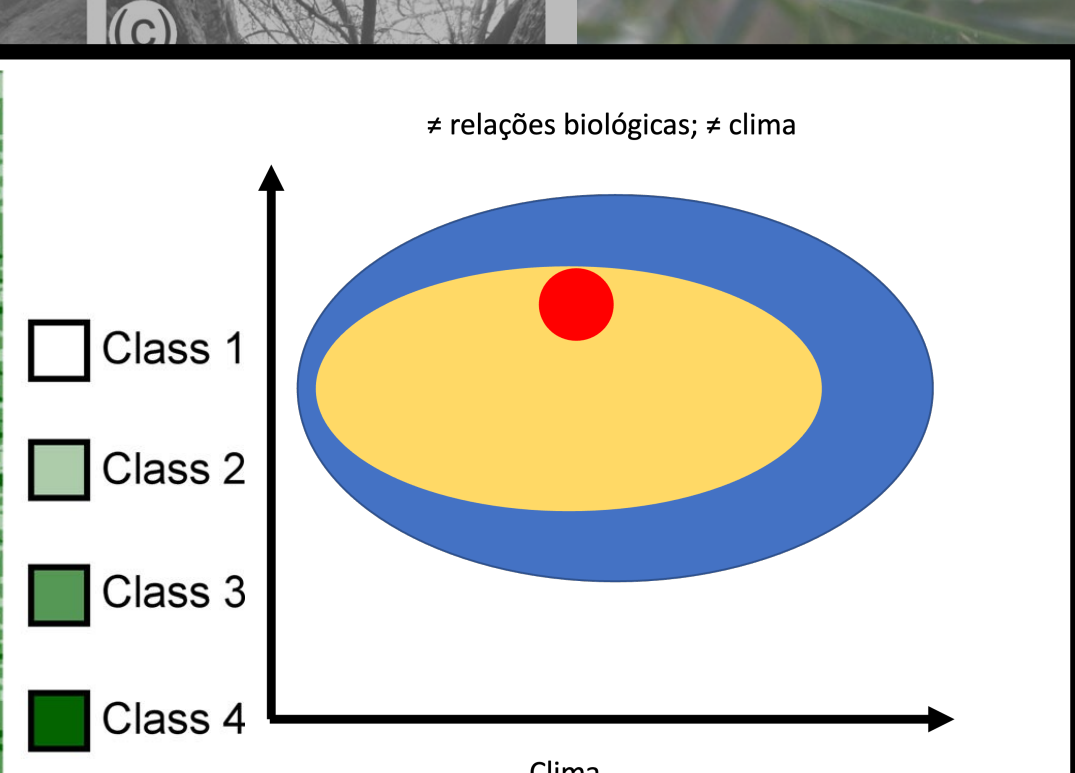
(b)

(c)

Locosselli et al 2016 International Journal of Biometeorology 60: 639-649

Sandstone

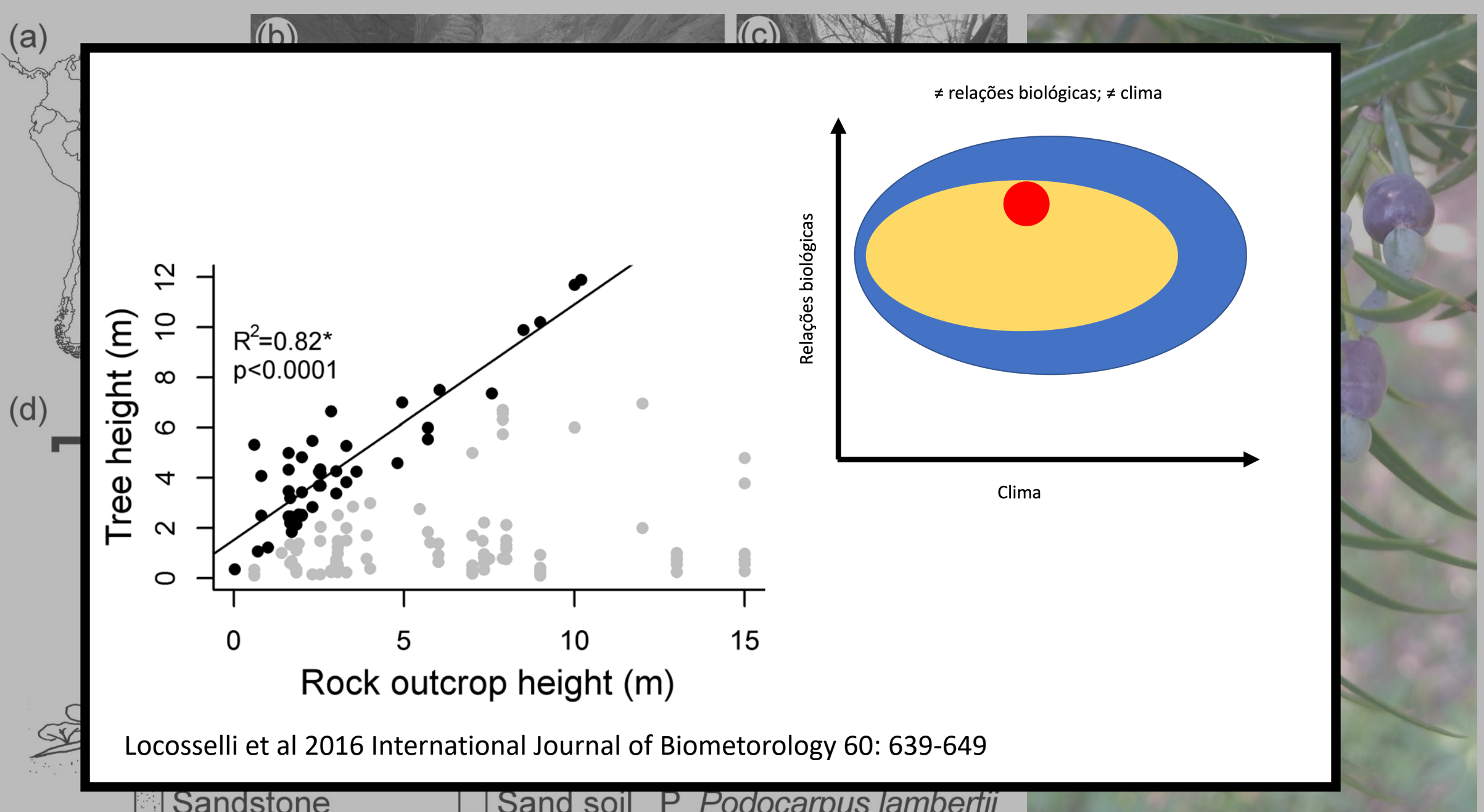
Sand soil P *Podocarpus lambertii*

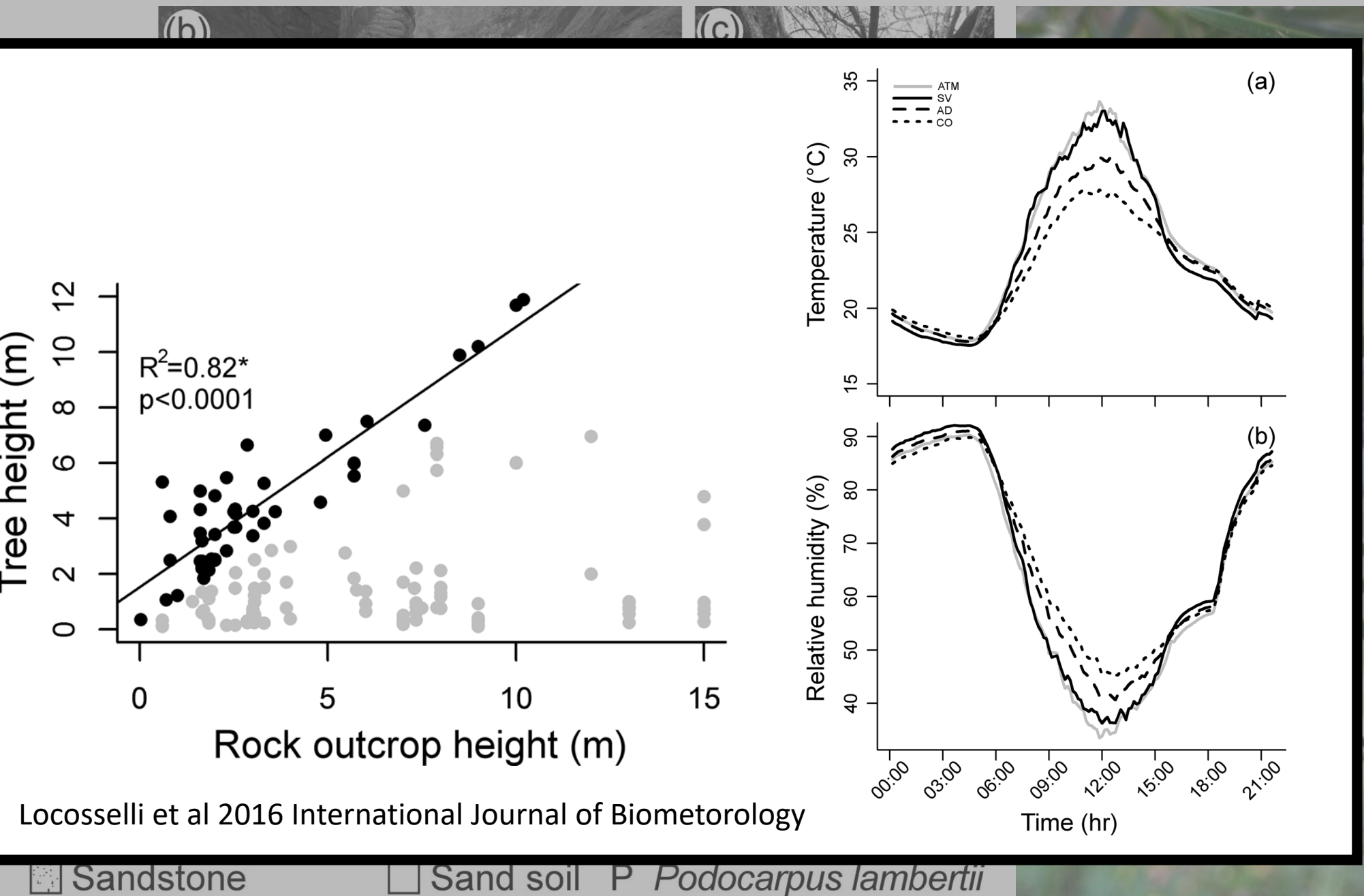
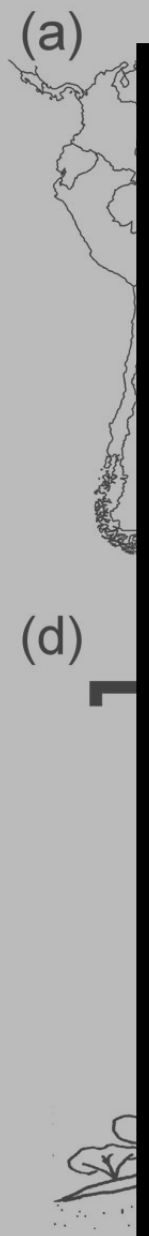


(a)

(b)

(c)





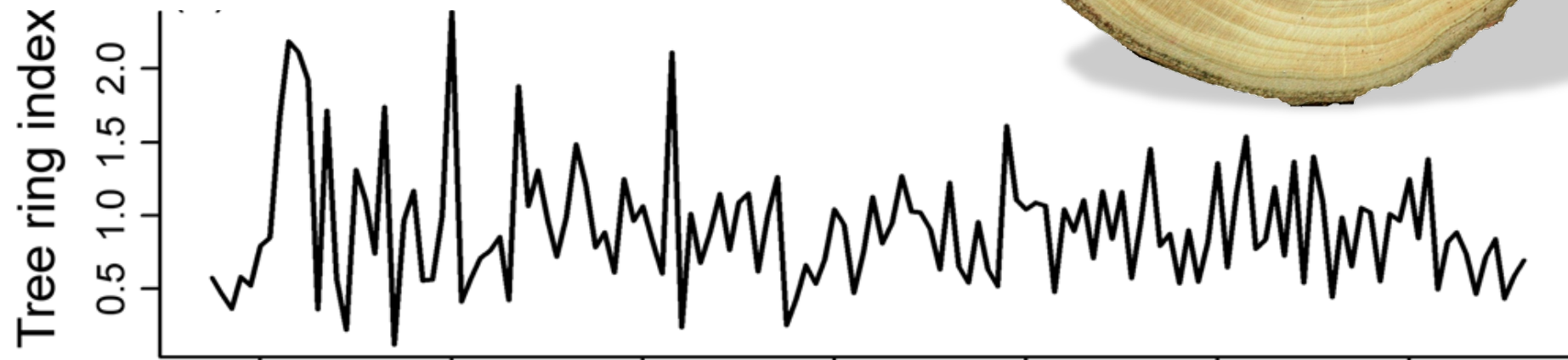
(a)

(b)

(c)



(d)



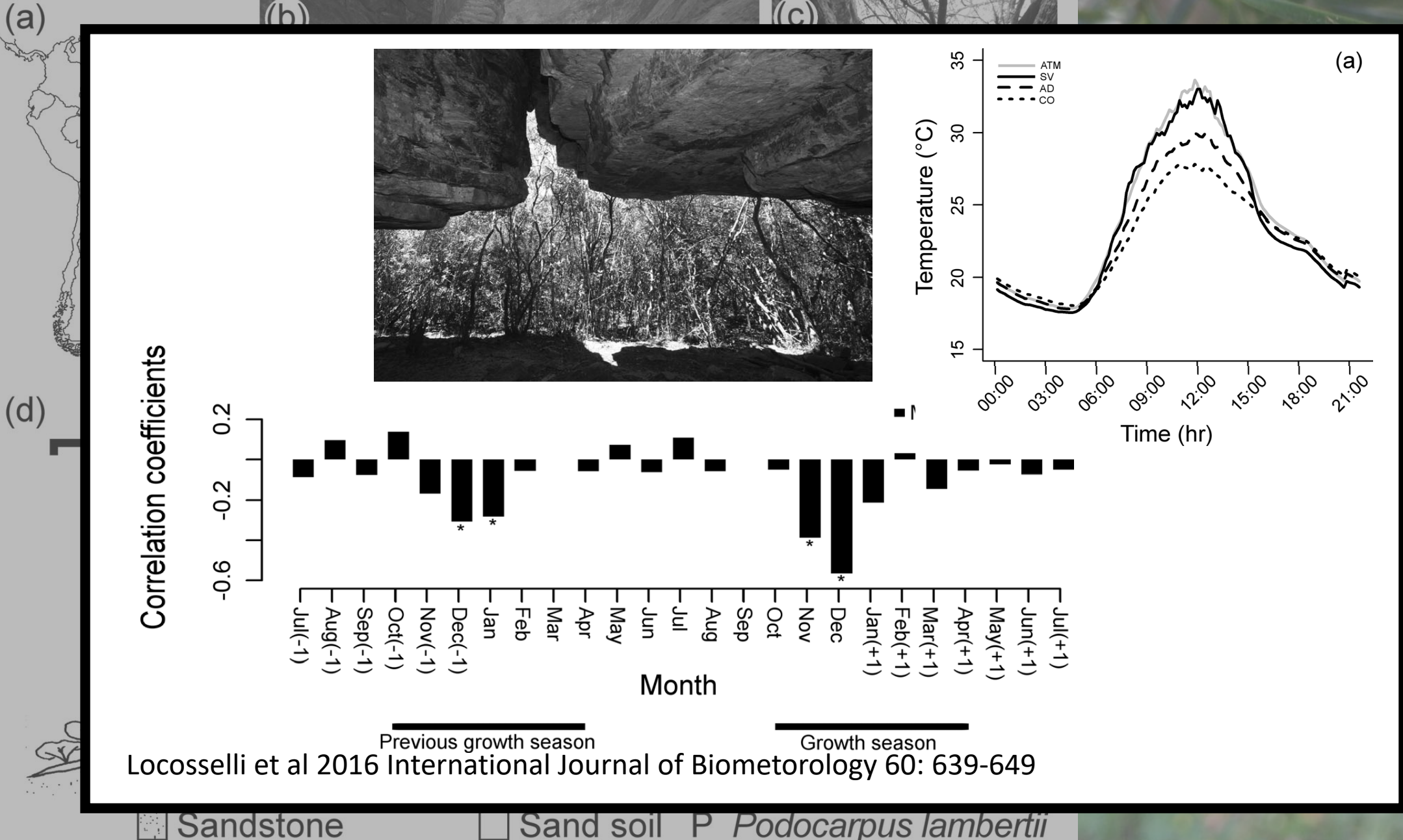
Locosselli et al 2016 International Journal of Biometeorology 60: 639-649

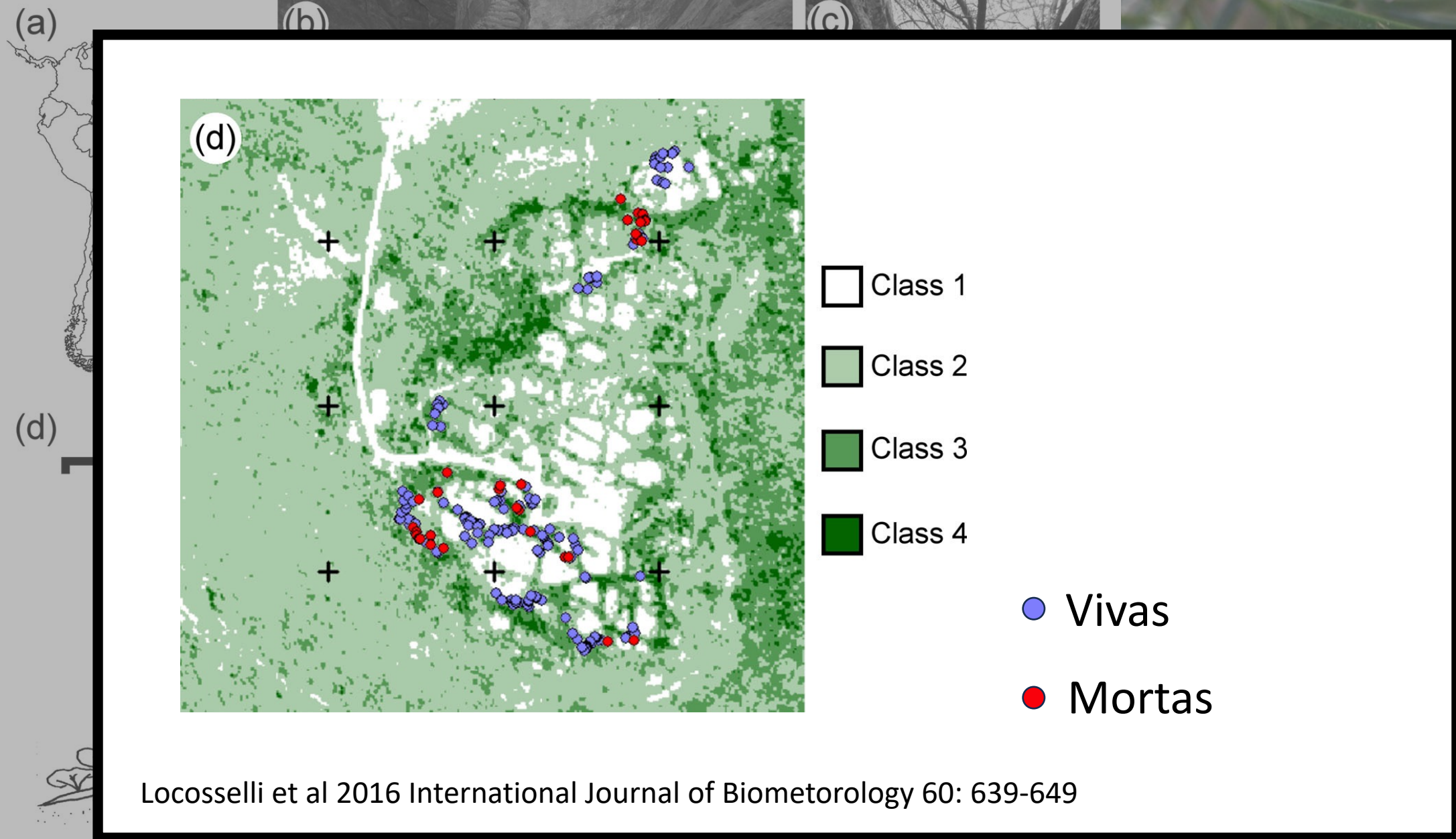
Sandstone

Sand soil

P *Podocarpus lambertii*

Locosselli et al 2016 International Journal of Biometeorology 60: 639-649





Locosselli et al 2016 International Journal of Biometeorology 60: 639-649



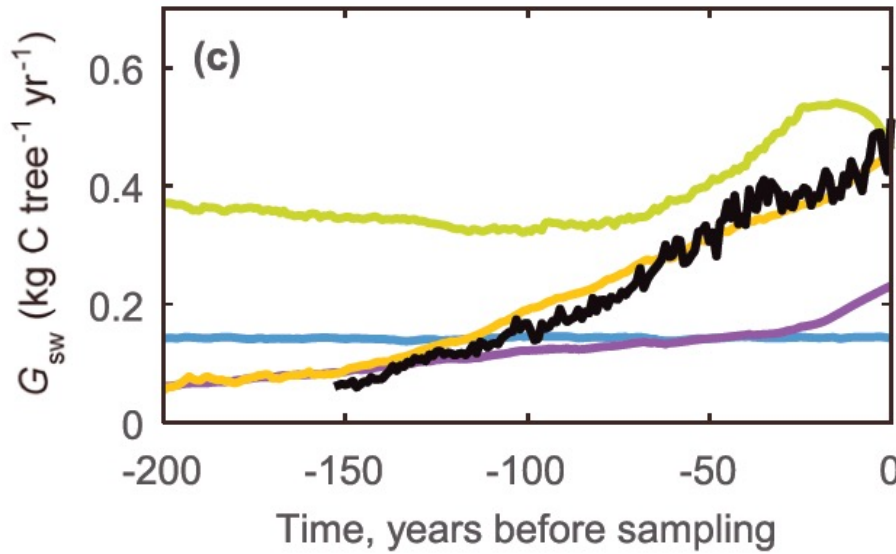
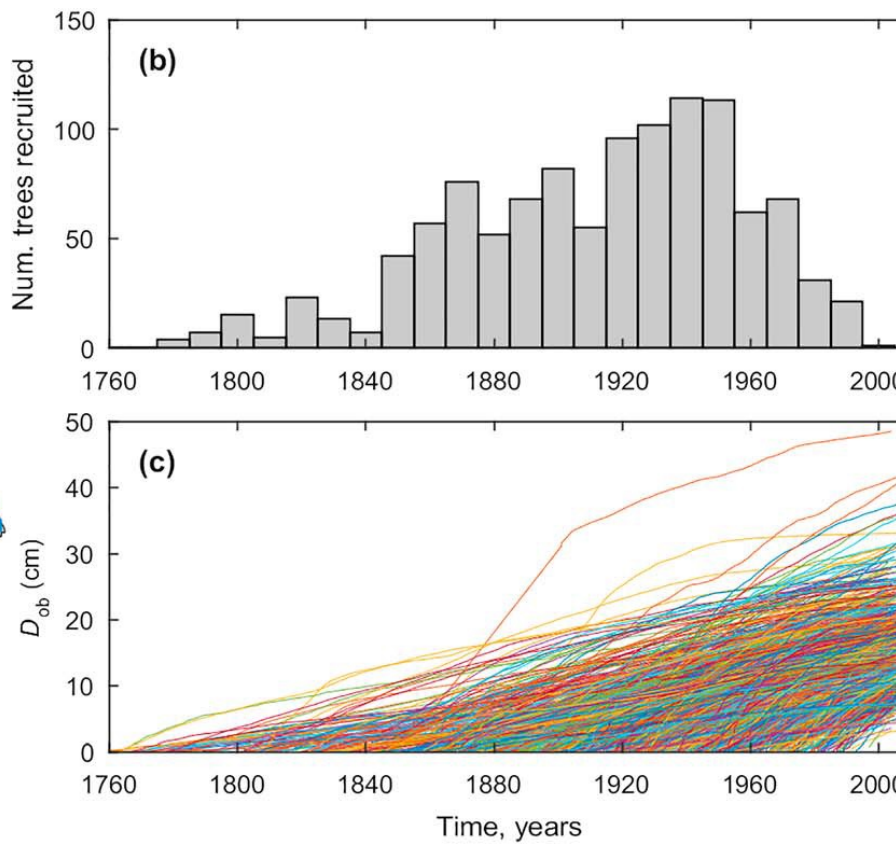
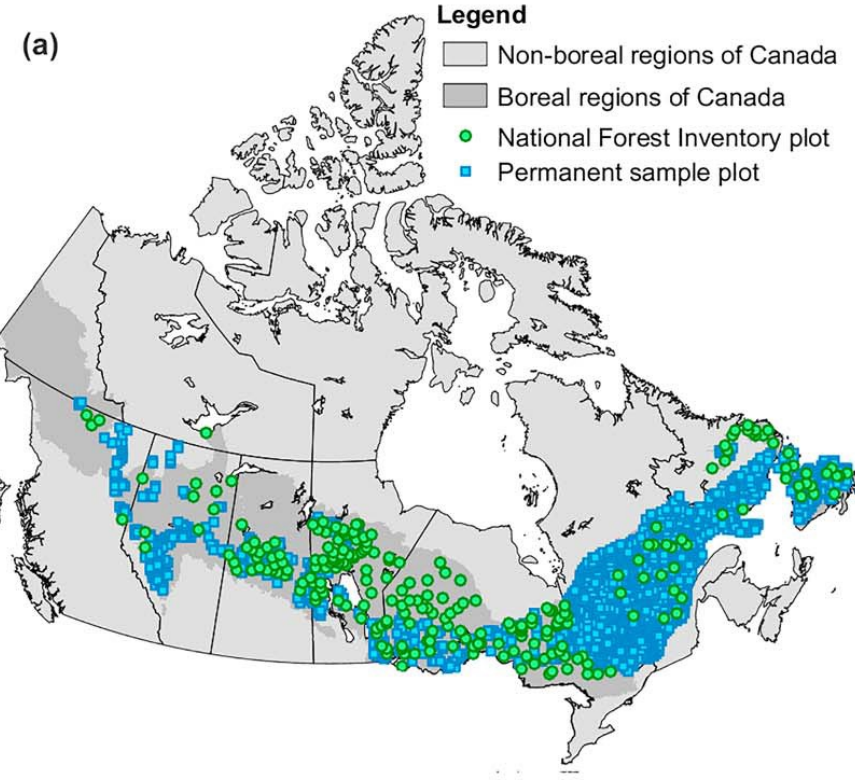
Sandstone



Sand soil

P

Podocarpus lambertii



Simulations:

- All live trees (POP)
- Dominant live trees
- Live at t_{samp}
- Live and dominant at t_{samp}

Observations:

- Core sample of live and dominant trees



(a)



(b)



b

Picea mariana
 $n = 77.691$ trees

Age (year)

350

250

150

50

0

Mean early growth rate (mm year^{-1})

G_{sw} ($\text{kg C tree}^{-1} \text{yr}^{-1}$)

0.6

0.4

0.2

0

Time, years before sampling

;

and dominant trees

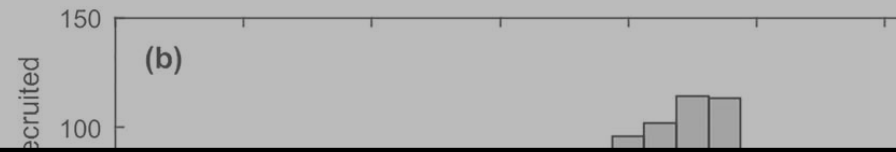
Brienen et al 2020 Nature Communications



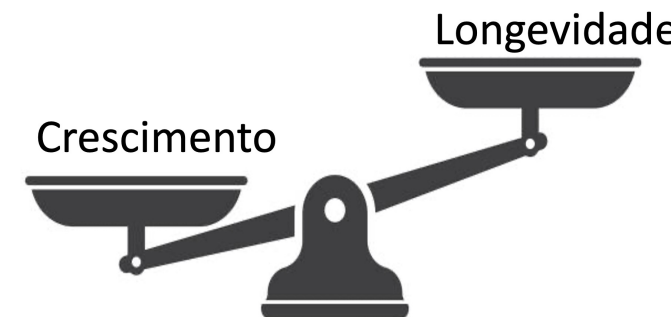
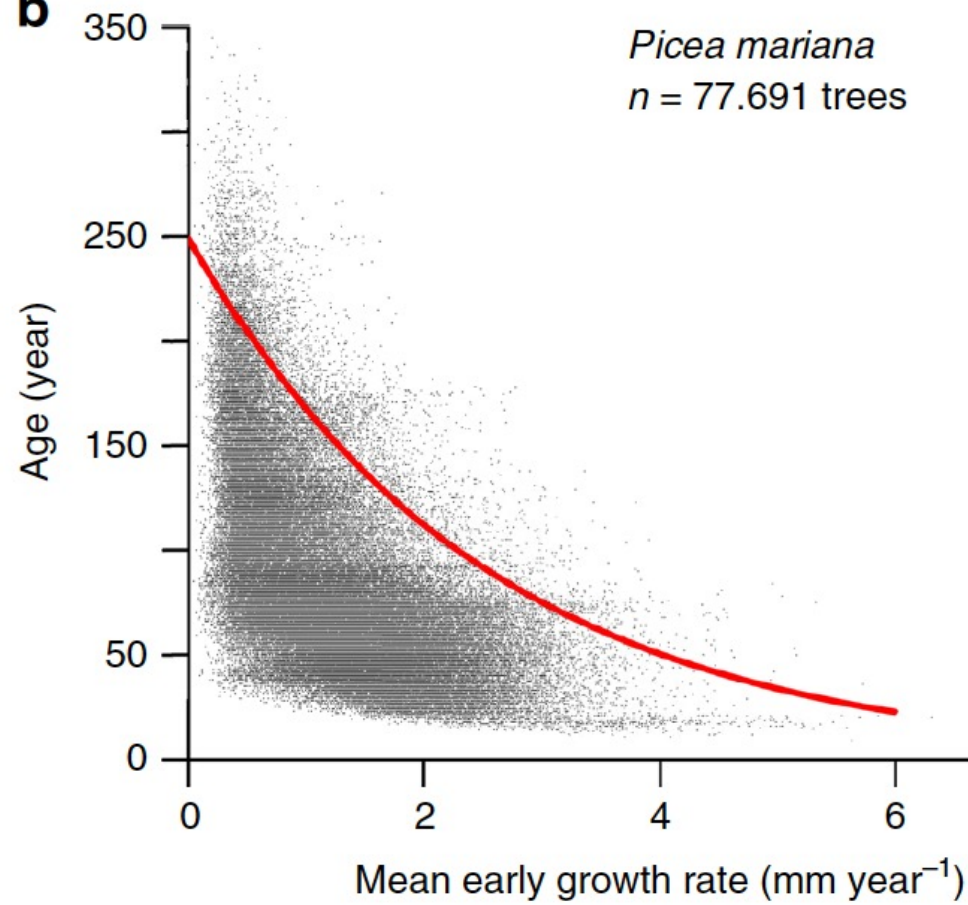
(a)



(b)



b



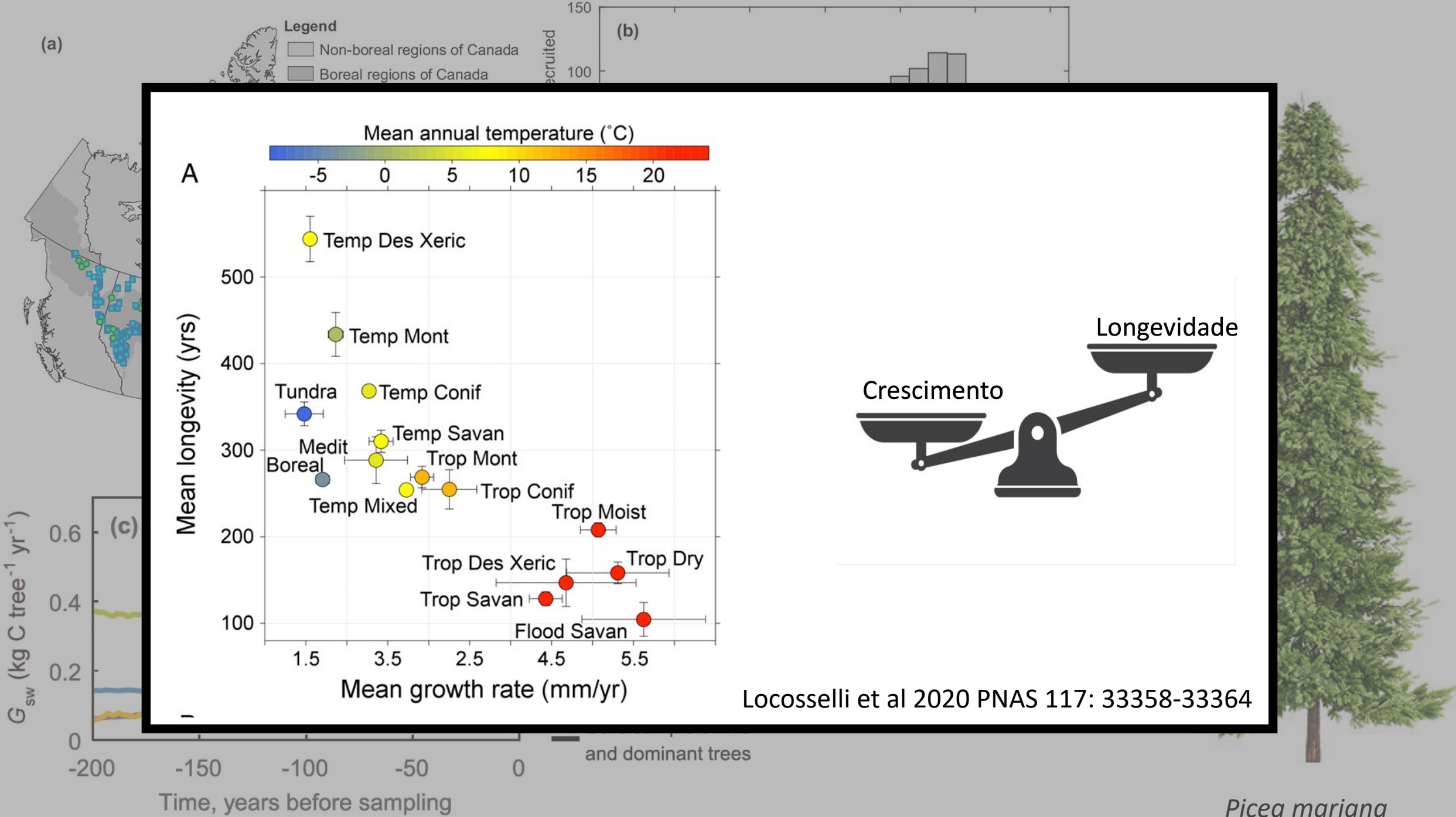
G_{sw} ($\text{kg C tree}^{-1} \text{yr}^{-1}$)



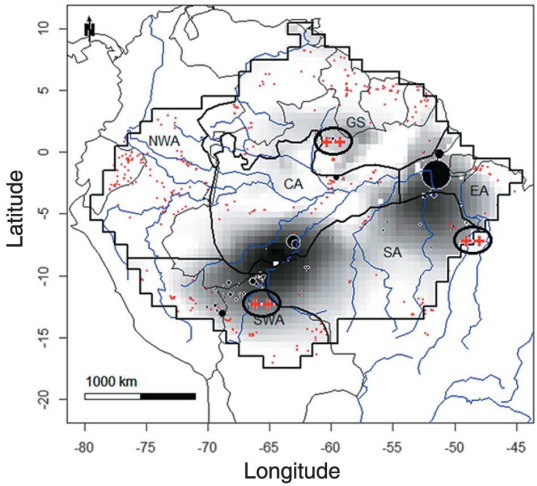
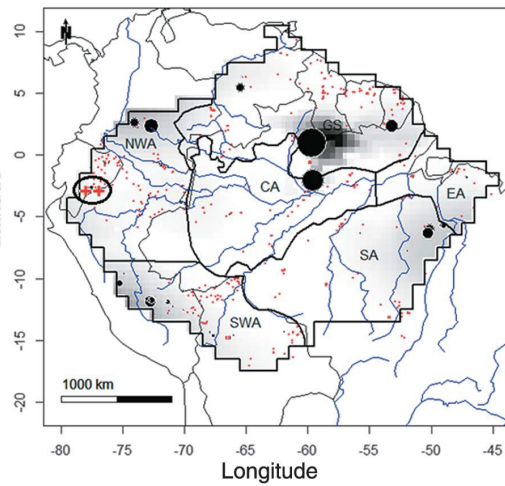
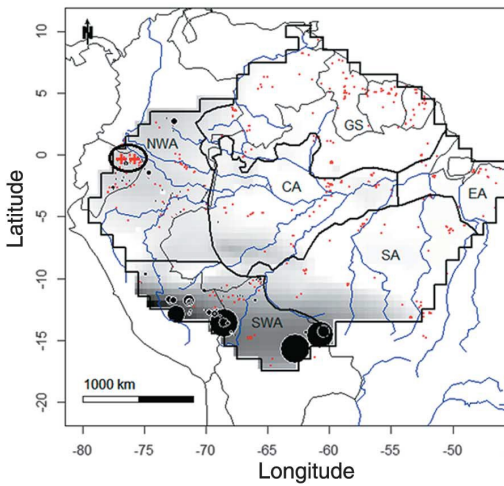
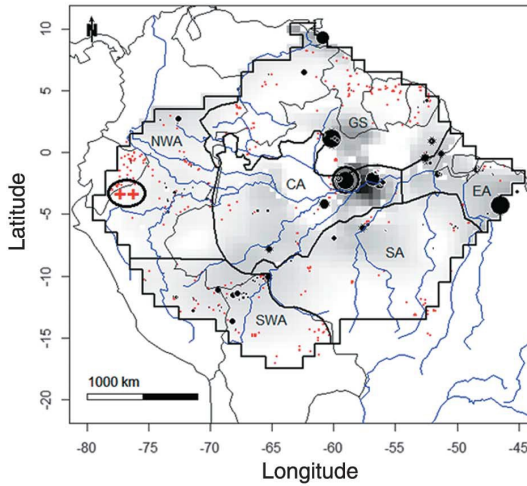
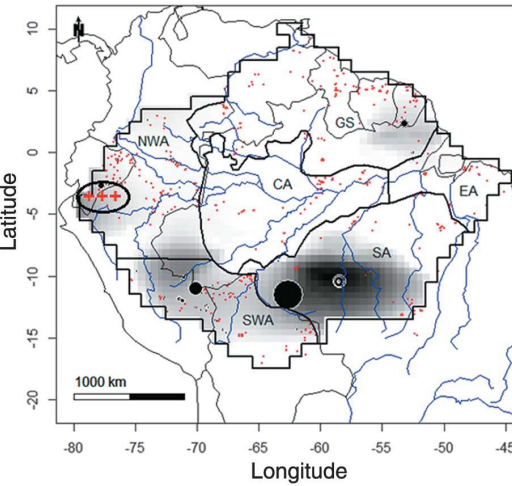
Brienen et al 2020 Nature Communications



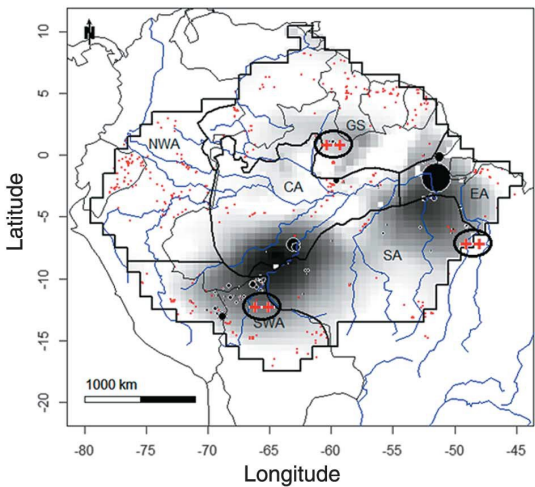
Picea mariana



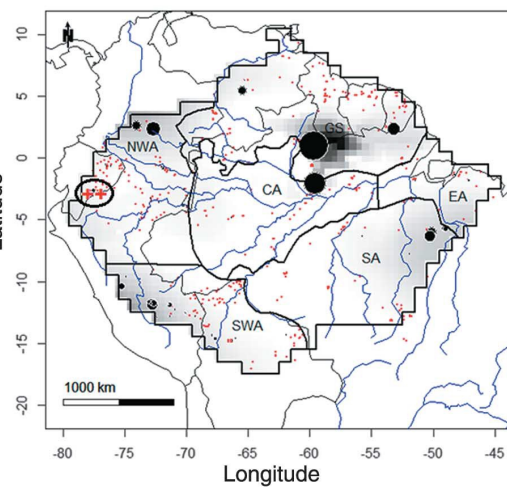


A *Bertholletia excelsa* :RelAb = 0 - 7.09 ; fit: 0 - 0.8**B** *Inga yng'a* :RelAb = 0 - 6.1 ; fit: 0 - 2.36**C** *Pourouma cecropiifolia* :RelAb = 0 - 6.96 ; fit: 0 - 1.23**D** *Pouteria caimito* :RelAb = 0 - 8.51 ; fit: 0 - 3.54**E** *Theobroma cacao* :RelAb = 0 - 27.05 ; fit: 0 - 3.52

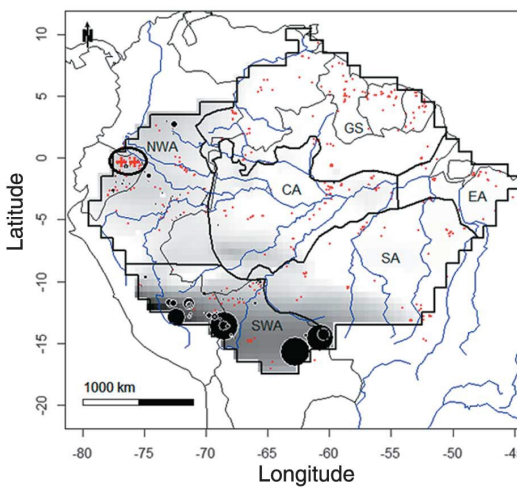
A *Bertholletia excelsa* :RelAb = 0 - 7.09 ; fit: 0 - 0.8



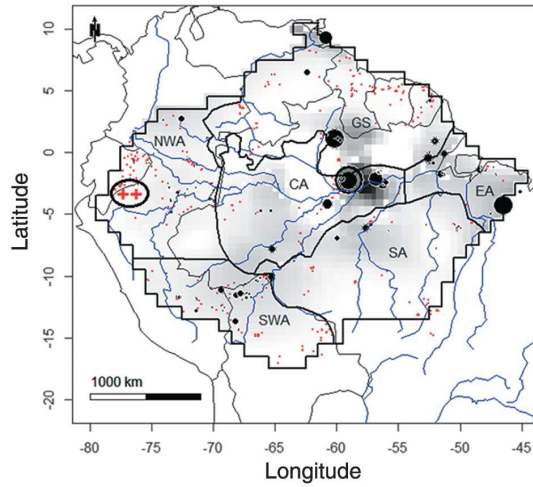
B *Inga yng'a* :RelAb = 0 - 6.1 ; fit: 0 - 2.36



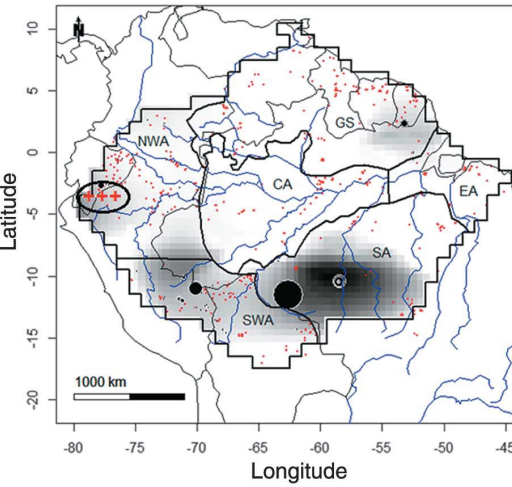
C *Pourouma cecropiifolia* :RelAb = 0 - 6.96 ; fit: 0 - 1.23

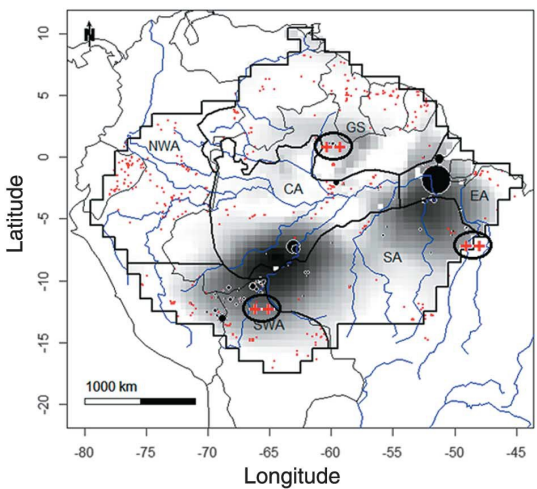
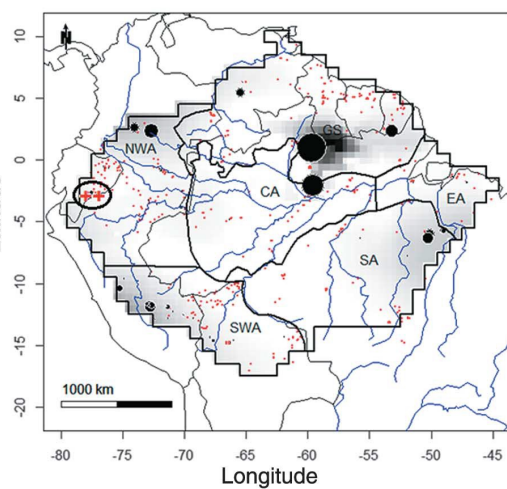
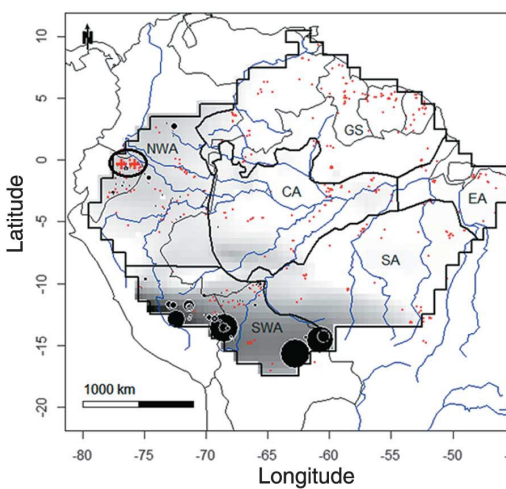
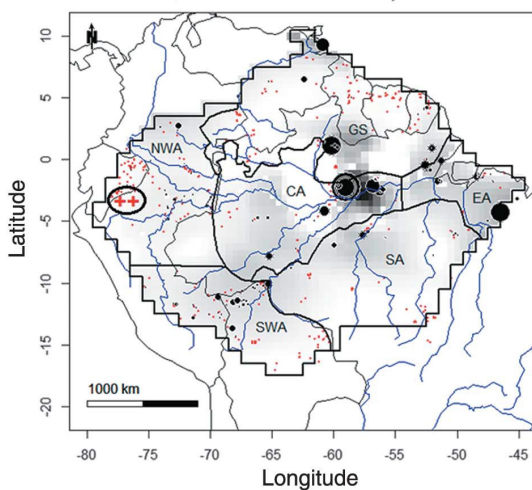
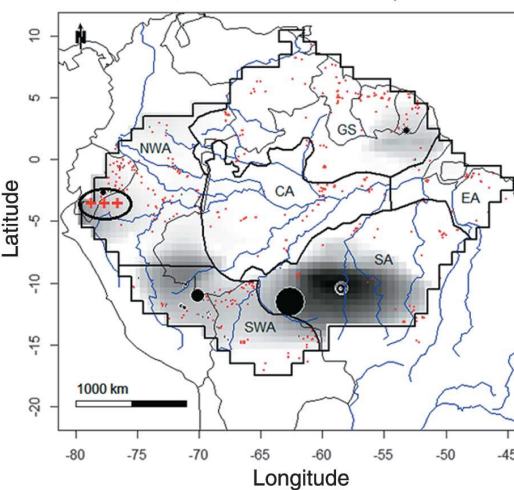
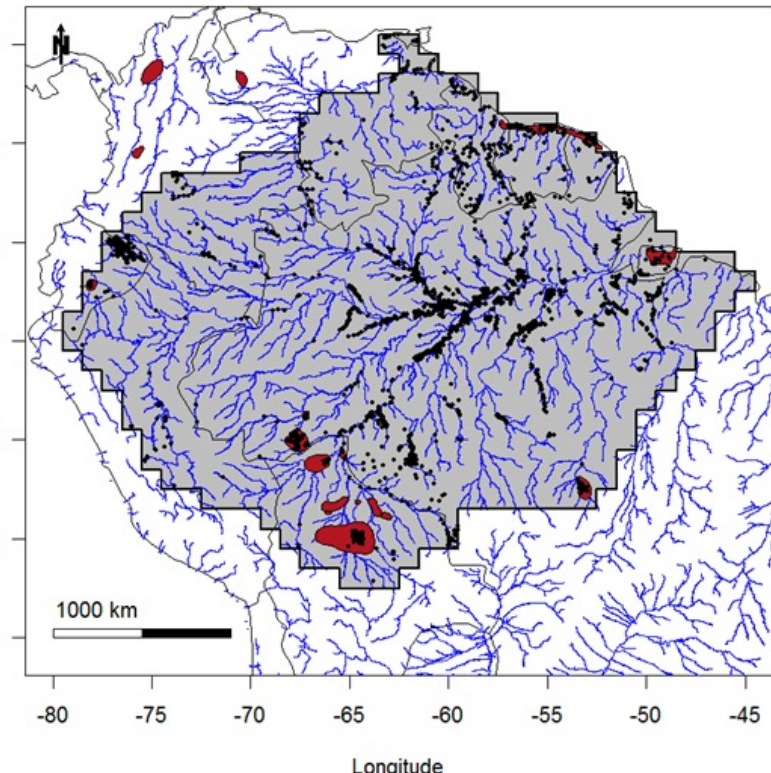


D *Pouteria caimito* :RelAb = 0 - 8.51 ; fit: 0 - 3.54

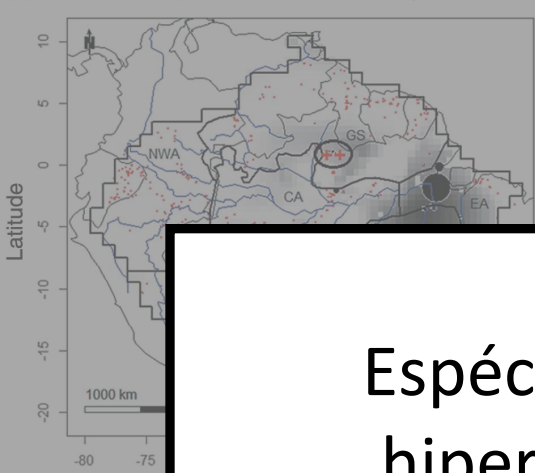


E *Theobroma cacao* :RelAb = 0 - 27.05 ; fit: 0 - 3.52

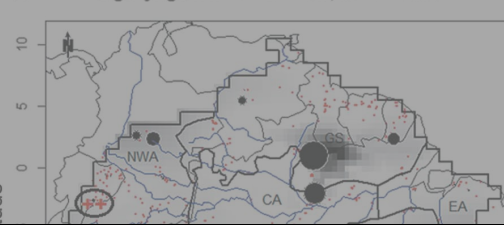


A *Bertholletia excelsa*: RelAb = 0 - 7.09 ; fit: 0 - 0.8**B** *Inga yngá*: RelAb = 0 - 6.1 ; fit: 0 - 2.36**C** *Pourouma cecropiifolia*: RelAb = 0 - 6.96 ; fit: 0 - 1.23**D** *Pouteria caimito*: RelAb = 0 - 8.51 ; fit: 0 - 3.54**E** *Theobroma cacao*: RelAb = 0 - 27.05 ; fit: 0 - 3.52**B** Rivers and Archaeological sites, n = 3348

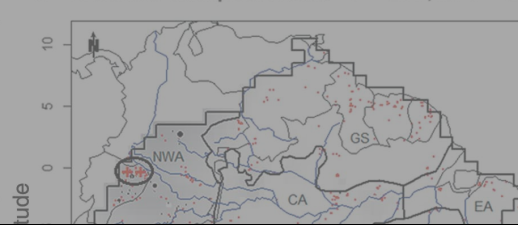
A *Bertholletia excelsa* : RelAb = 0 - 7.09 ; fit: 0 - 0.8



B *Inga yngá* : RelAb = 0 - 6.1 ; fit: 0 - 2.36



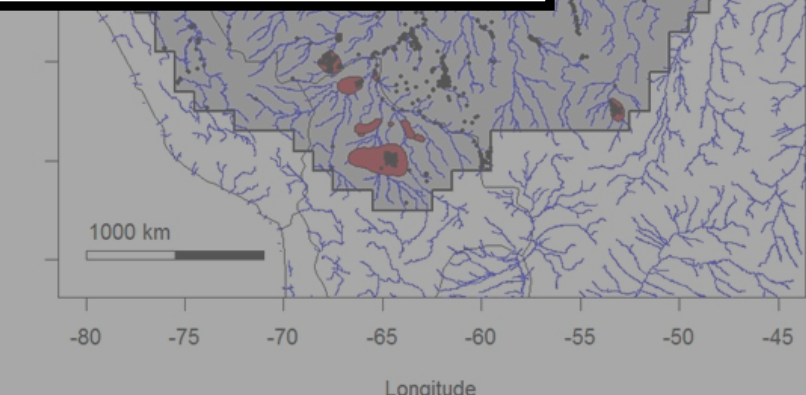
C *Pououma cecropiifolia* : RelAb = 0 - 6.96 ; fit: 0 - 1.23

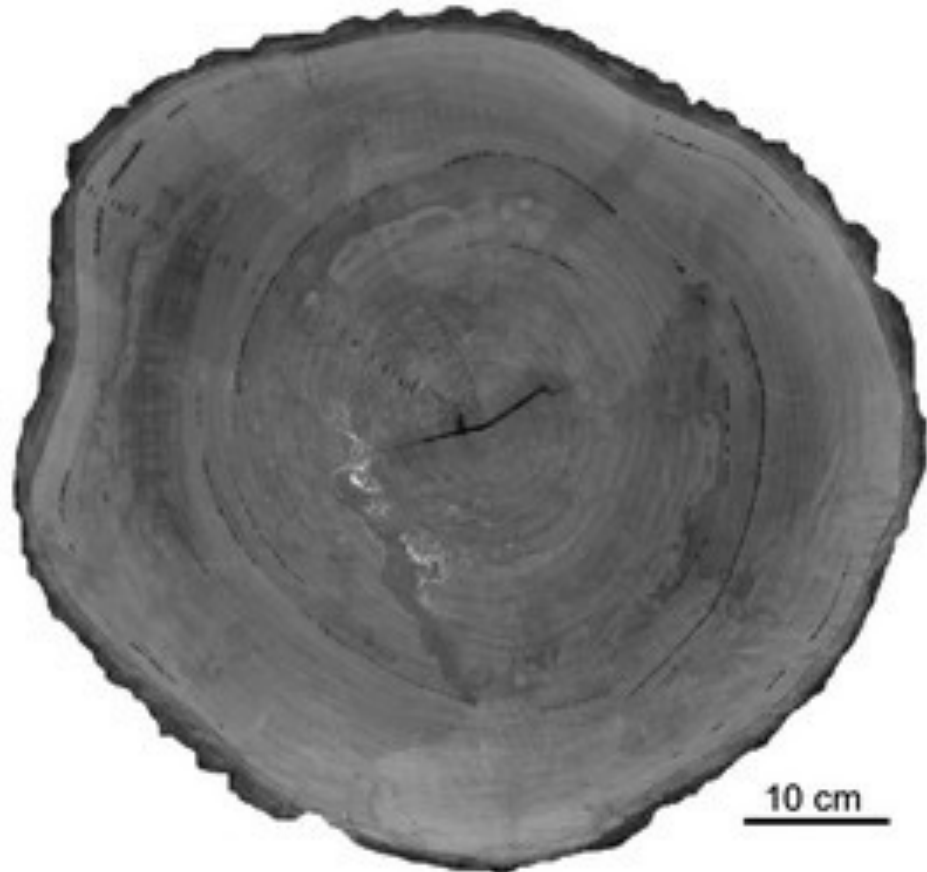
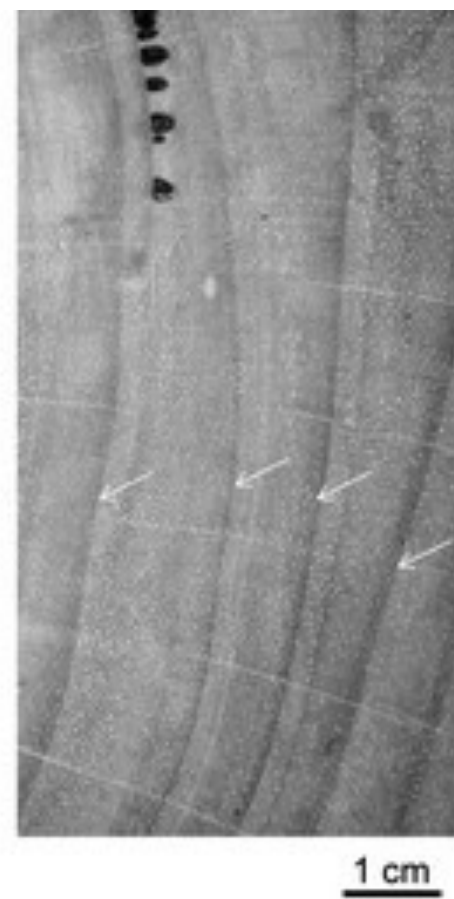


Espécies domesticadas tem 5X maior chance de serem hiperdominantes do que espécies não domesticadas!

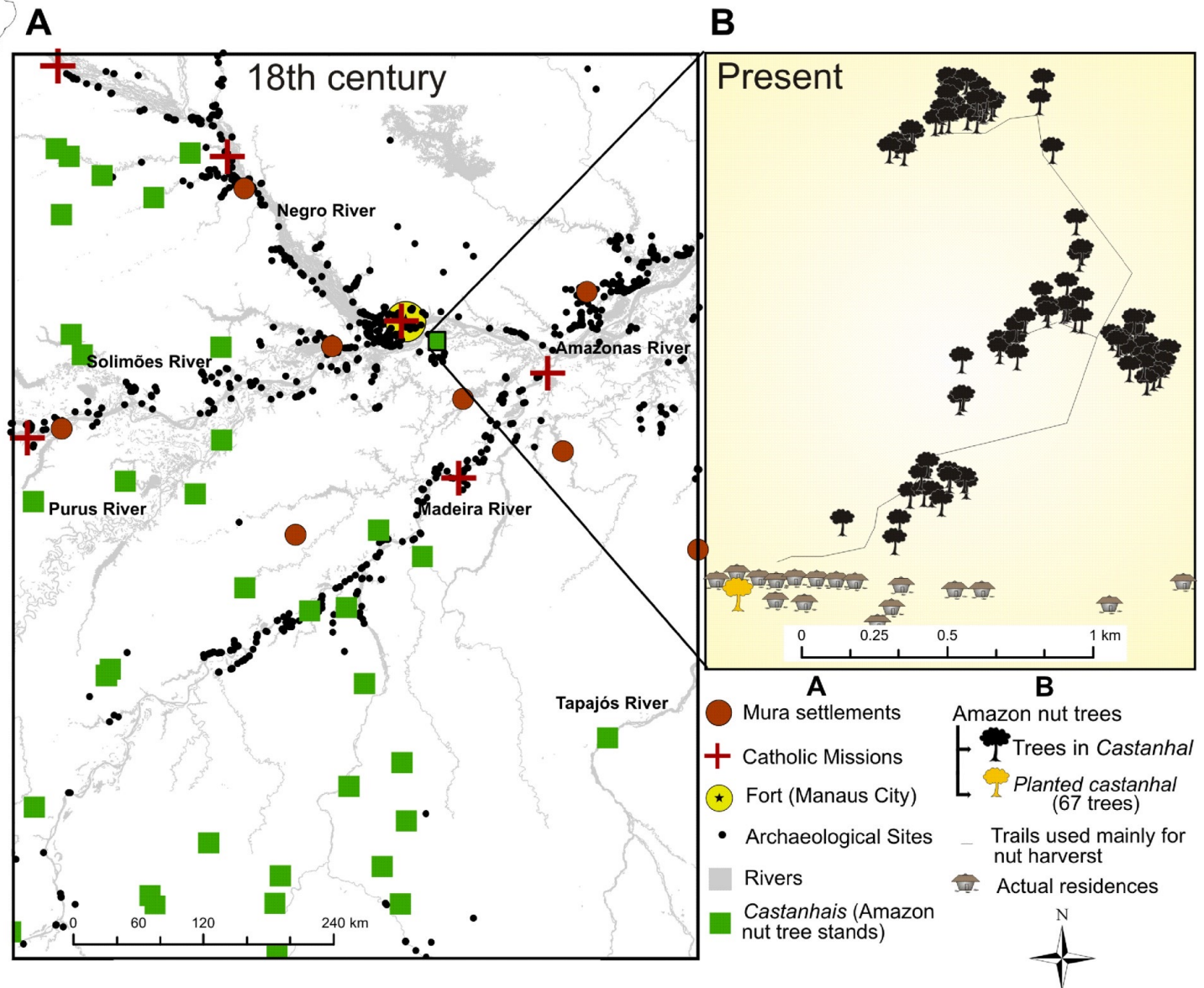
Espécies hyperdominantes, correspondem em conjunto a 50% da biomassa.

Fauset et al (2015) Nature Communications 6:6857

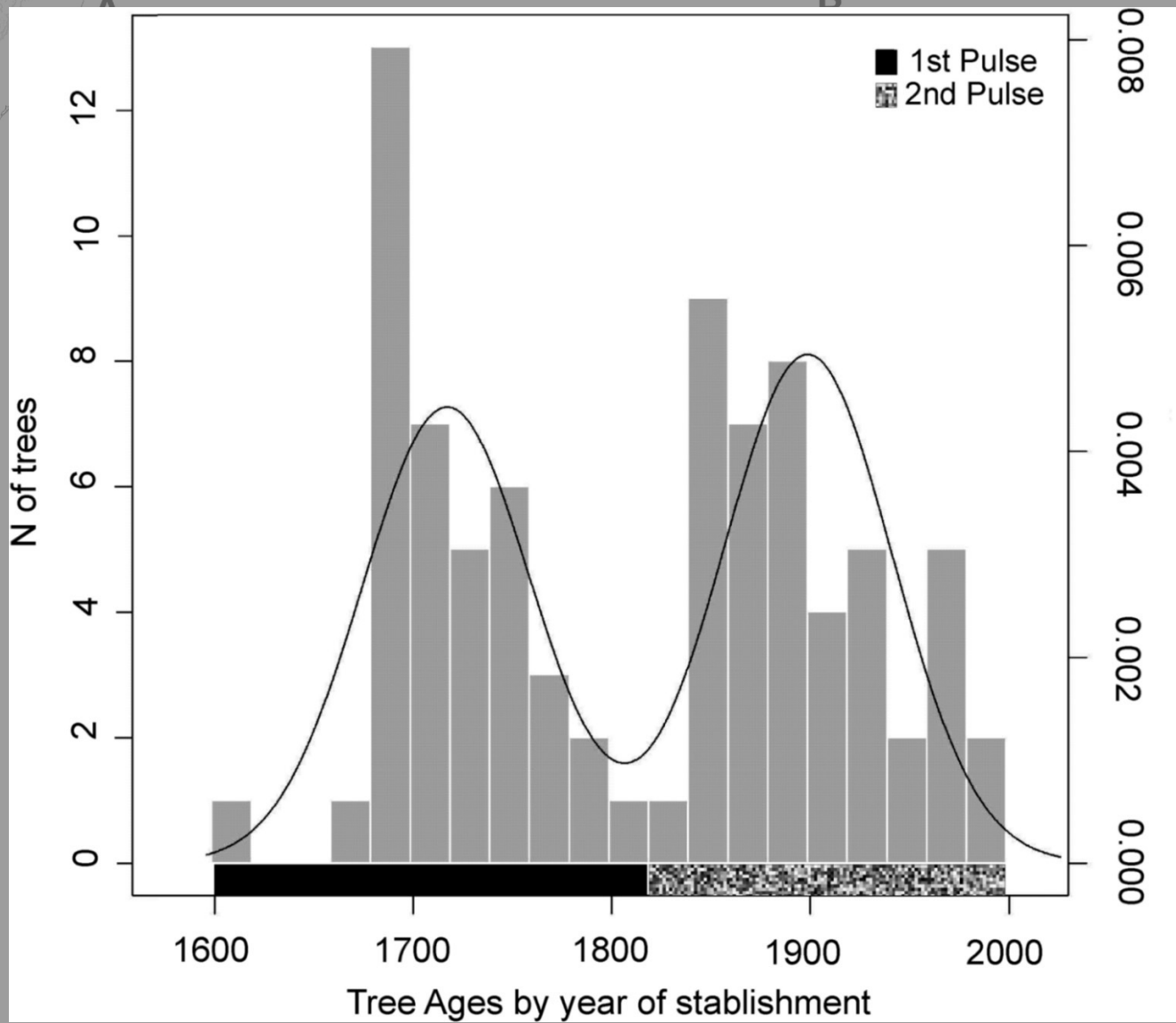


A**B****C**

Bertholletia excelsa



Bertholletia excelsa



A ↪

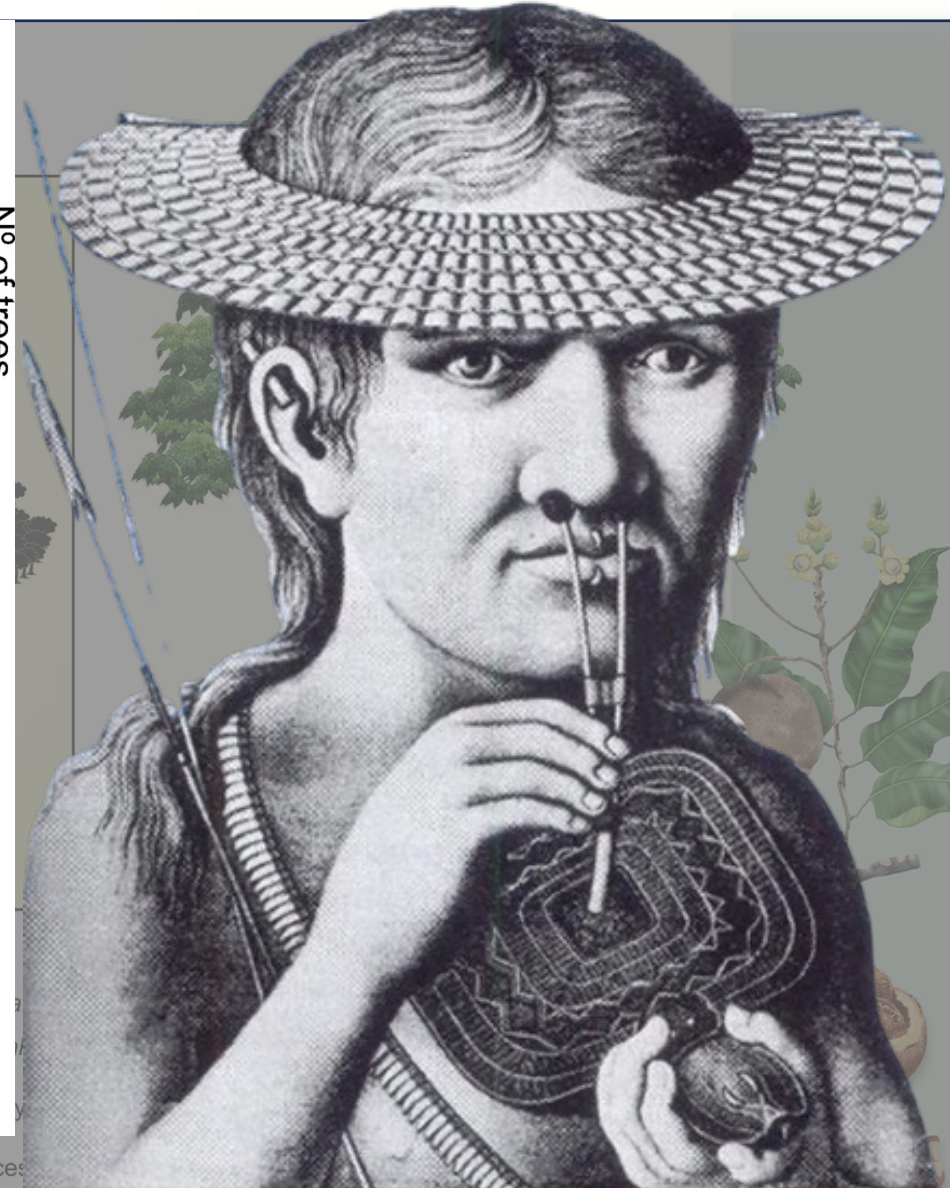
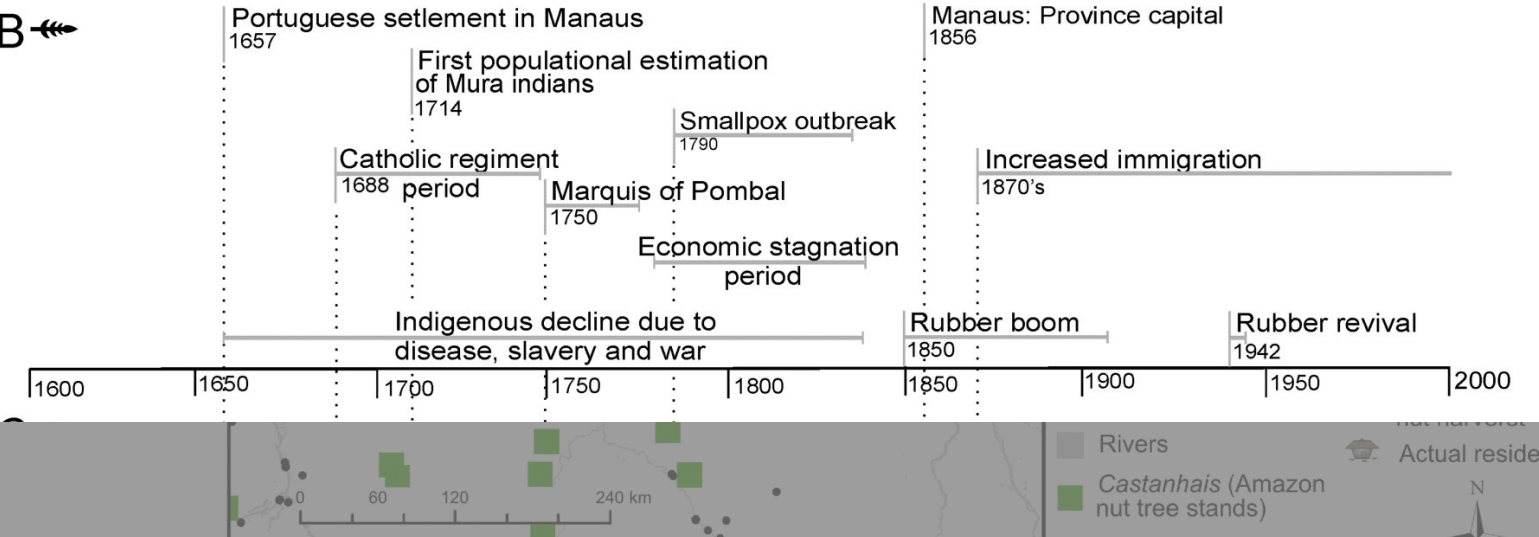
- Median relative growth rate
- Release events
- Suppression events

Arrival of thousands of
immigrants in Careiro
da Várzea

Extreme high water levels in Manaus

Historical Informations ↪

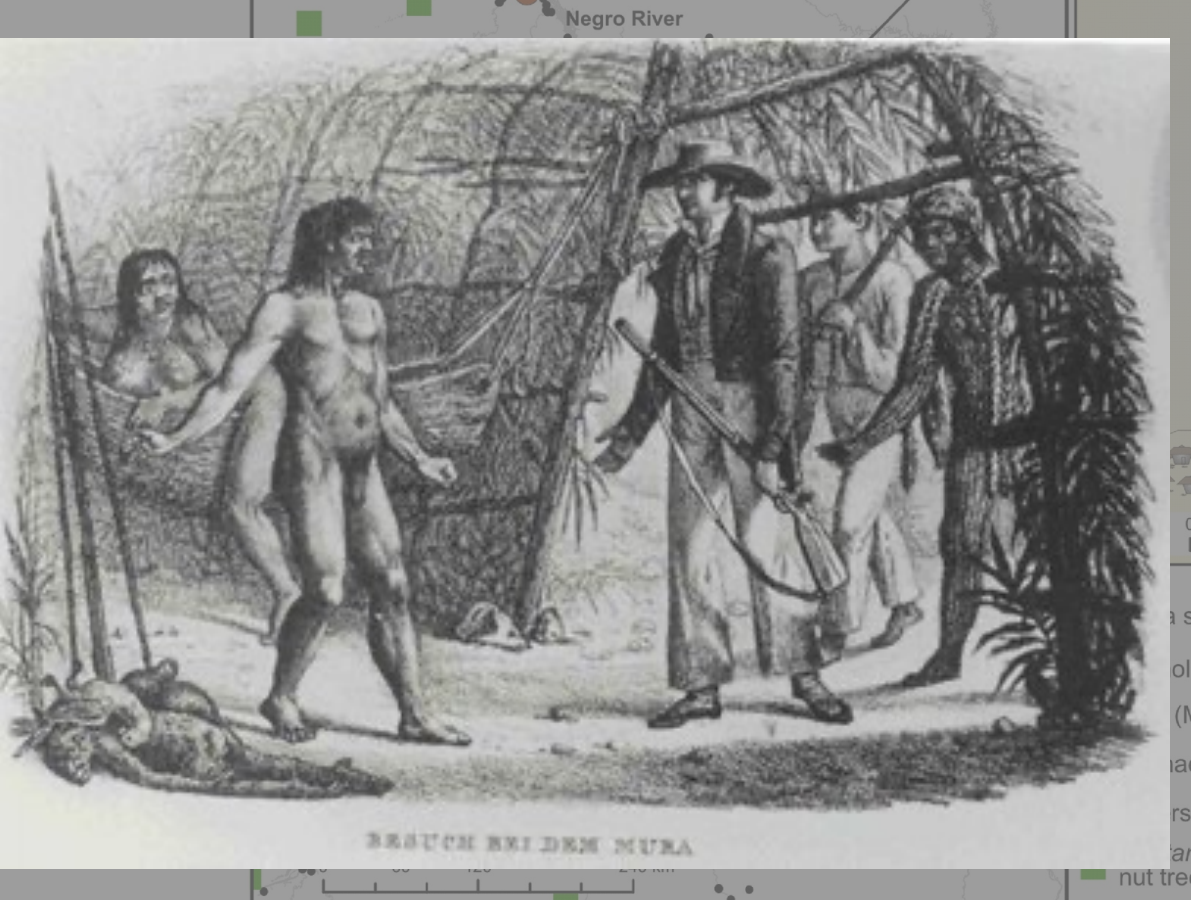
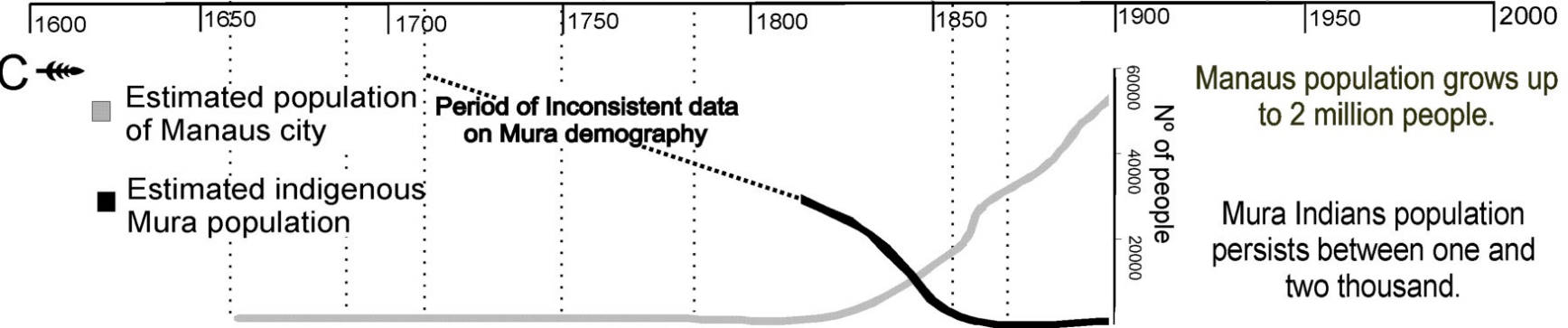
B ↪



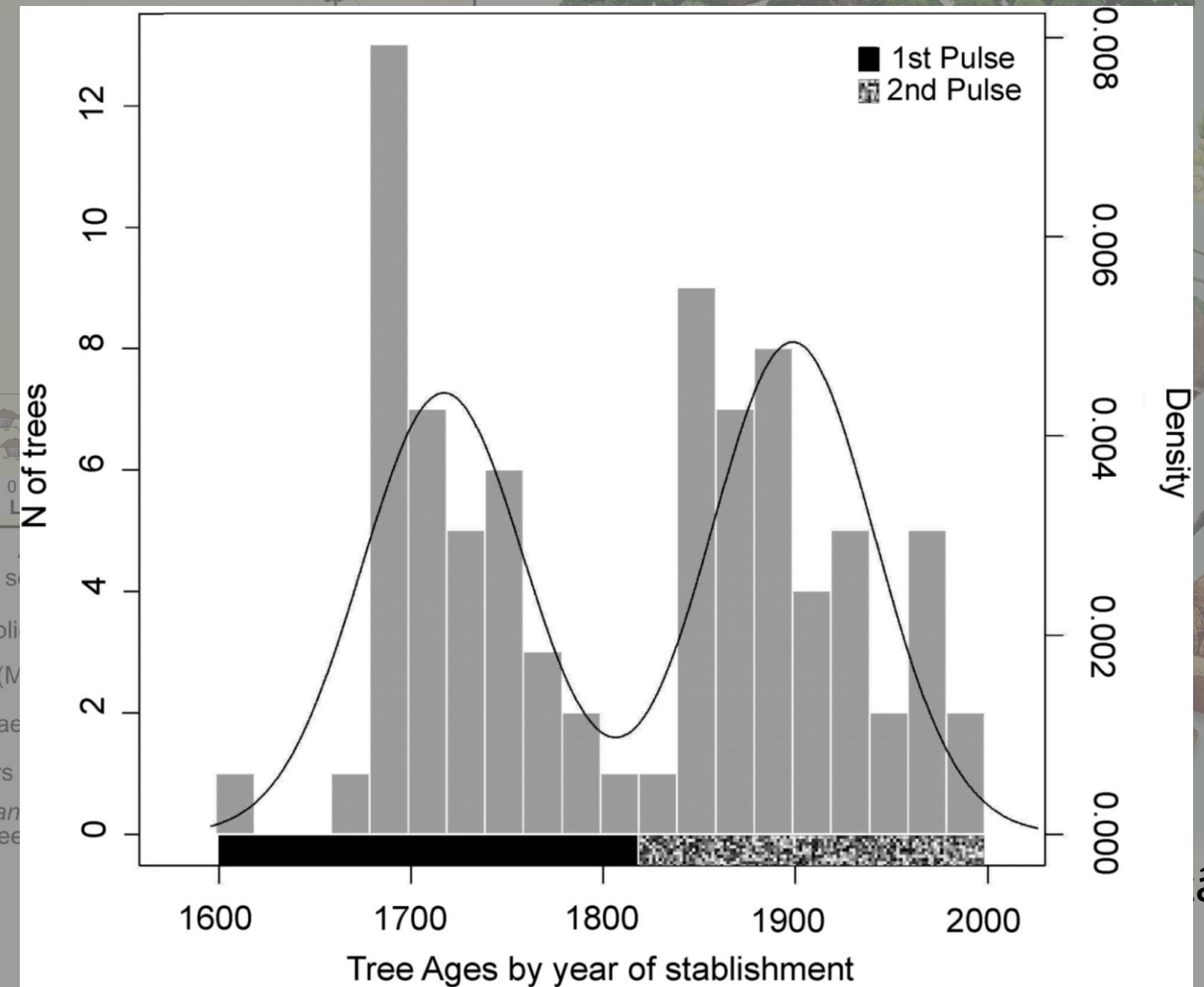


Manaus population grows up to 2 million people.

Mura Indians population persists between one and two thousand.



SPIX & MARTIUS. 1981. Viagem pelo Brasil (1817-1820). Belo Horizonte, São Paulo: Itatiaia, EDUSP. (Volume 3)

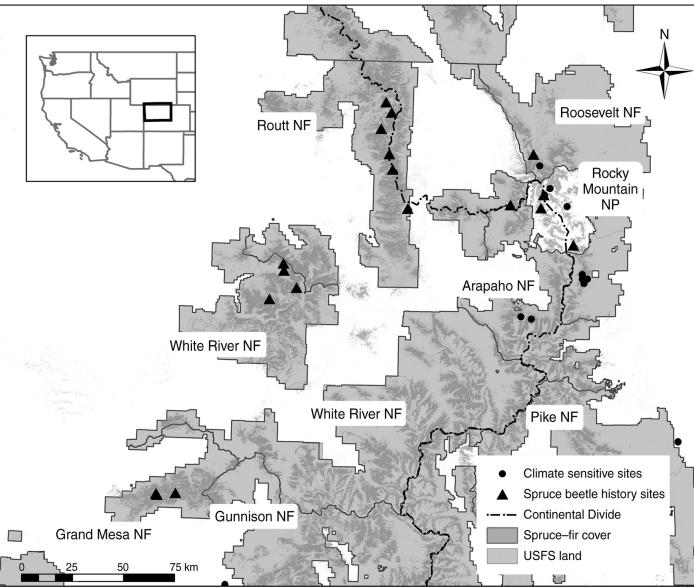




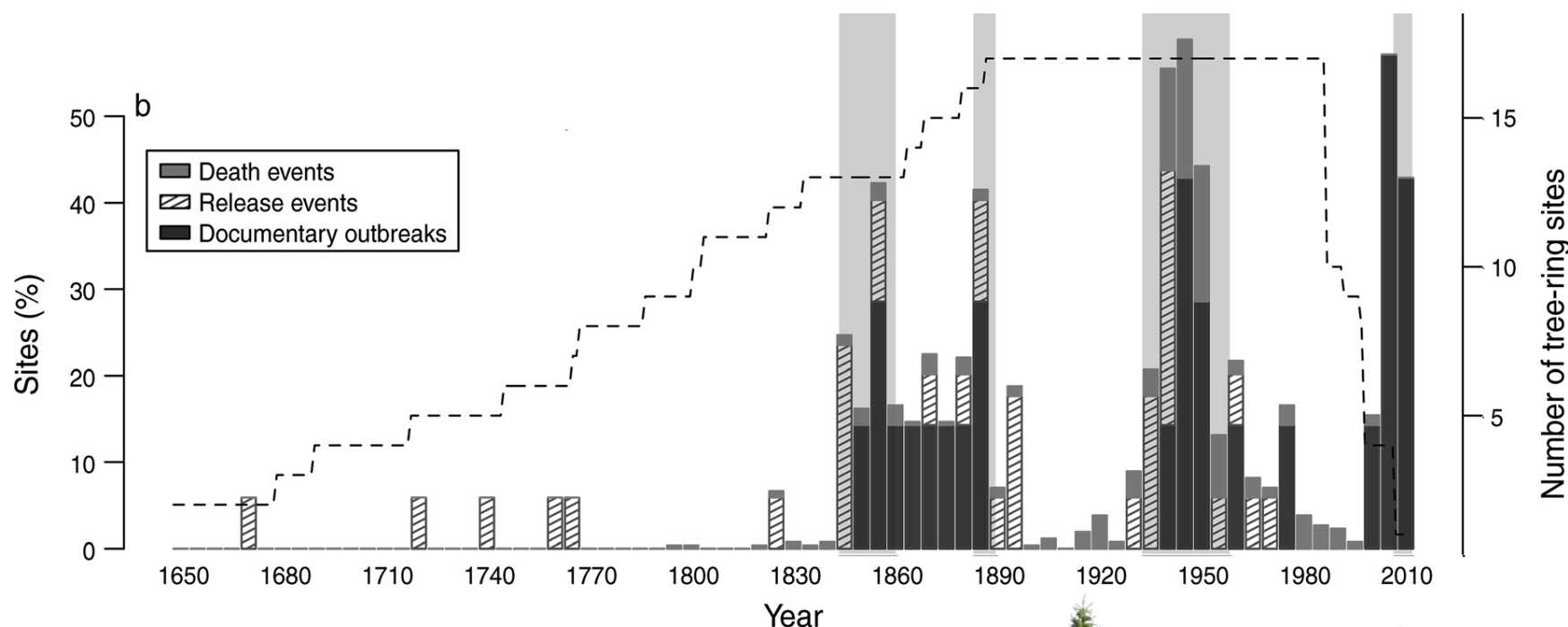
Besouro do spruce (*Dendroctonus rufipennis*), se alimentam dos açucares no floema



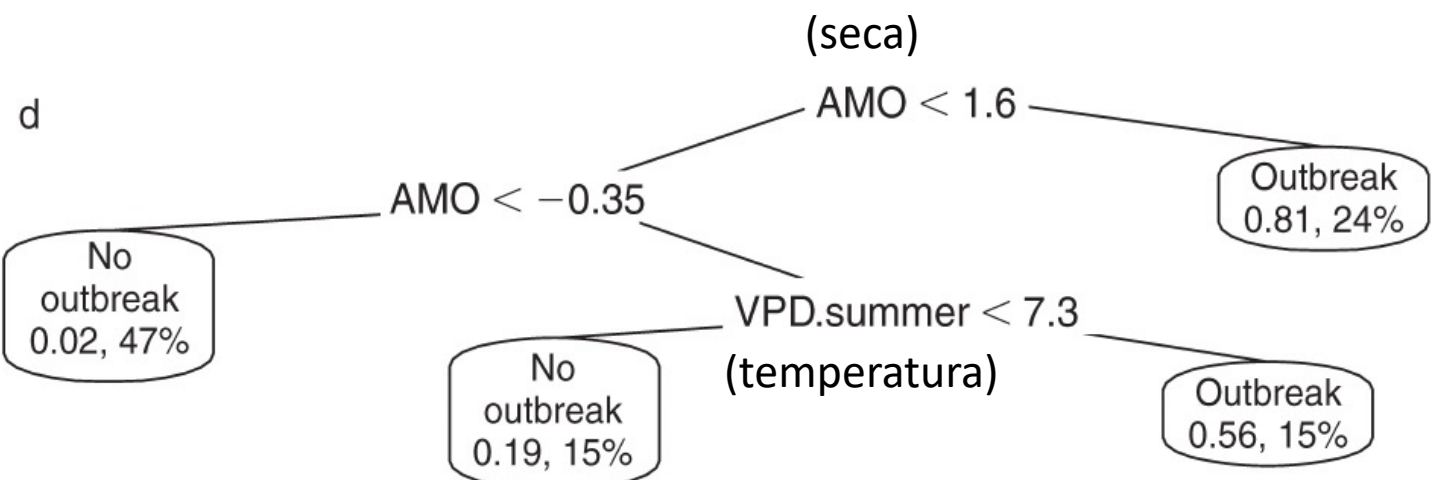
nps.gov

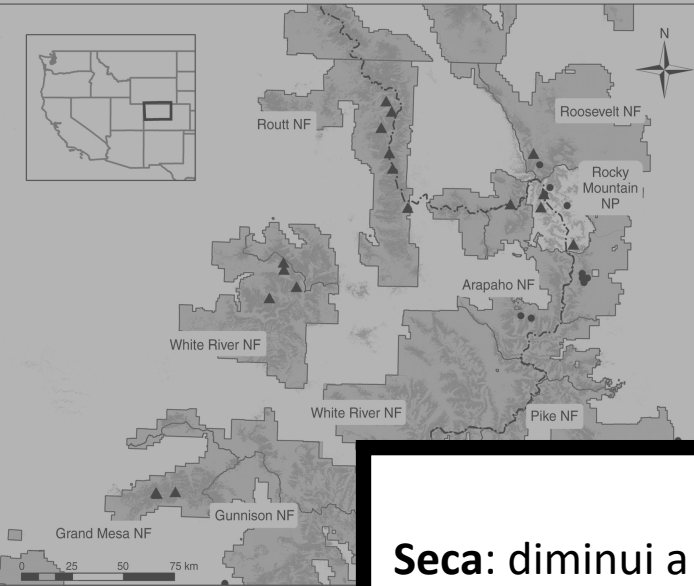


Noroeste do colorado



d





Noroeste do colo-

d

No outbreak
0.02, 47%

No outbreak
0.19, 15%

VPD.summer < 7.3
(temperatura)

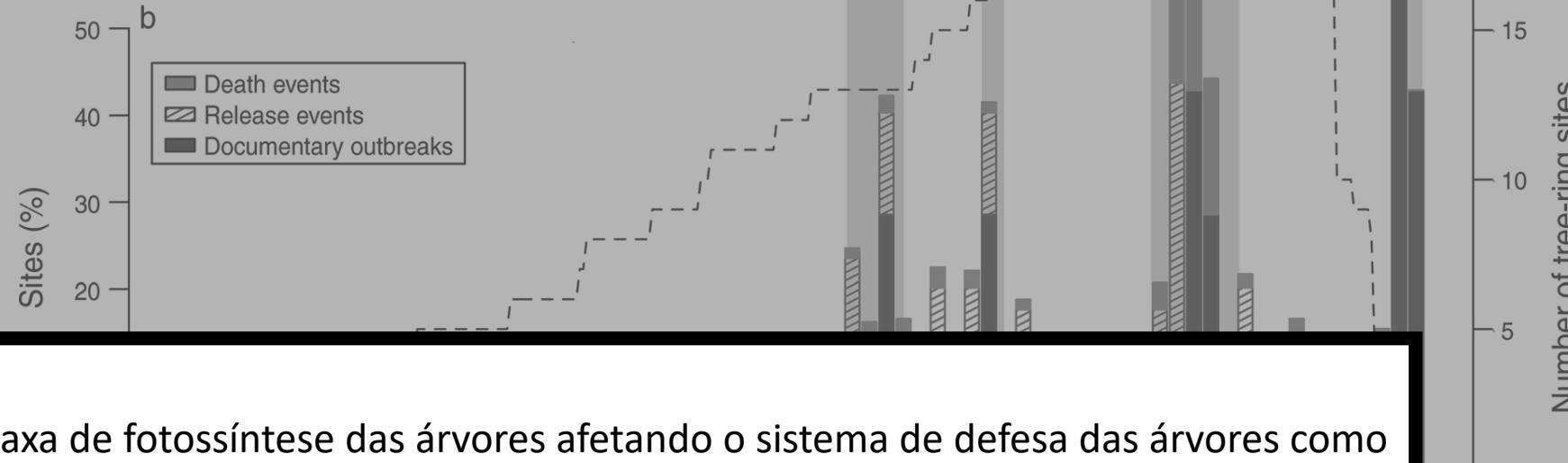
Outbreak
0.56, 15%

0.51, 24%



Spruce

Fir



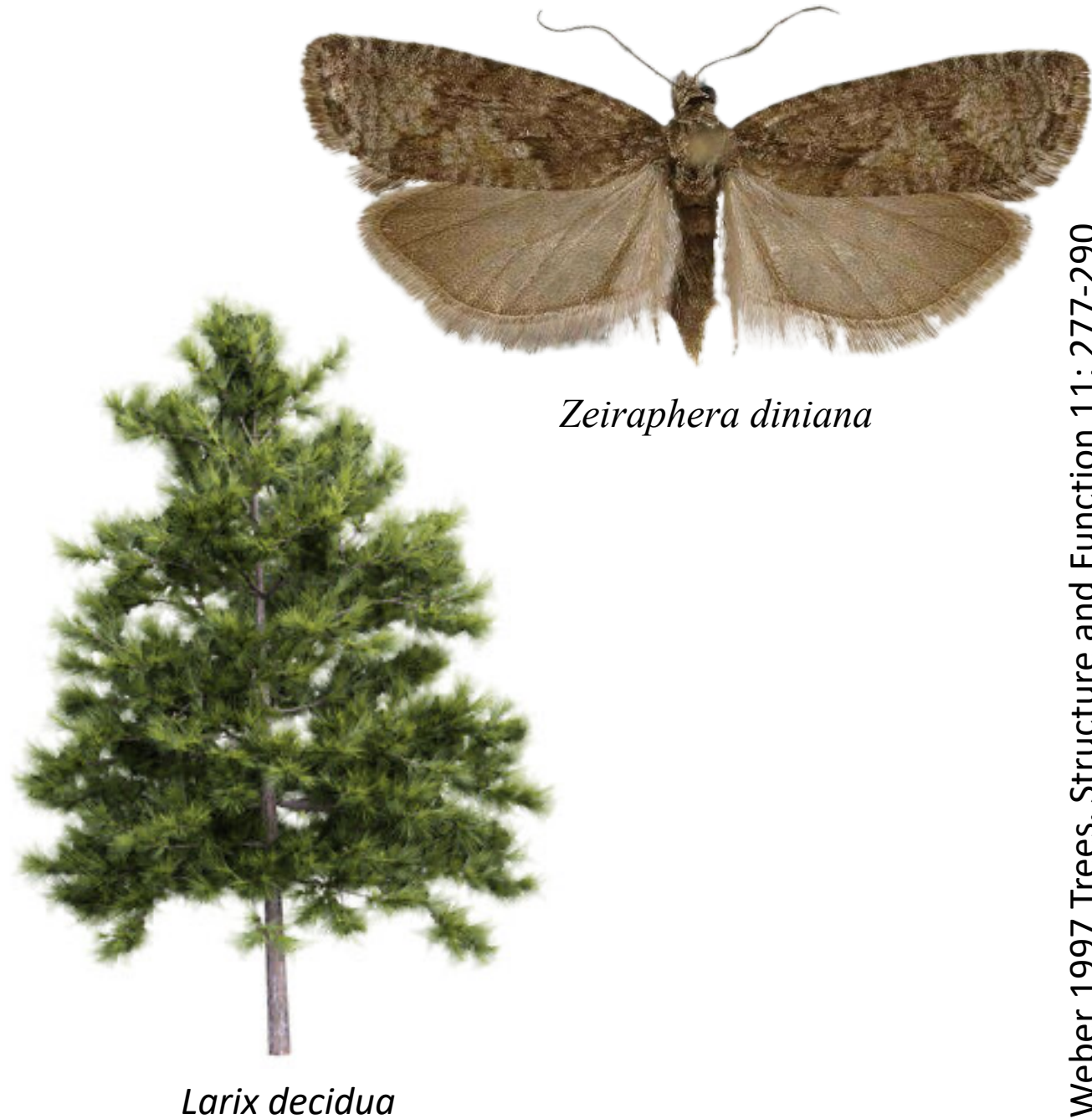
Seca: diminui a taxa de fotossíntese das árvores afetando o sistema de defesa das árvores como a produção de terpenos;

Temperatura mais alta: favorece o desenvolvimento larval e a sobrevivência. No caso da AMO, como é um ciclo multidecadal, favorece o desenvolvimento das populações por anos seguidos levando à explosão populacional.

Vale de Goms



Vale de Engadine

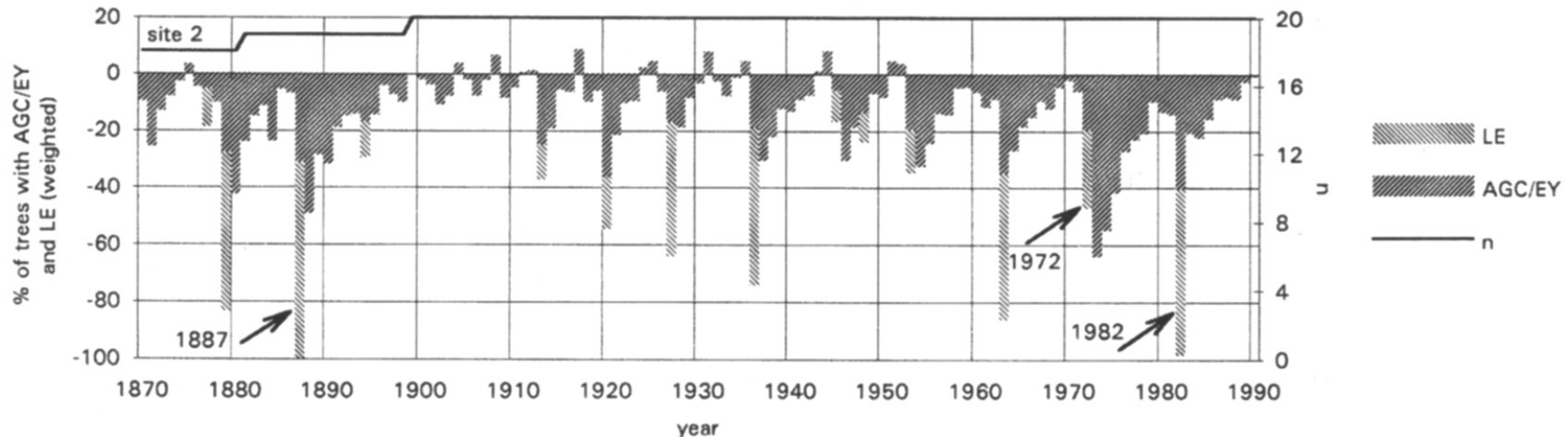
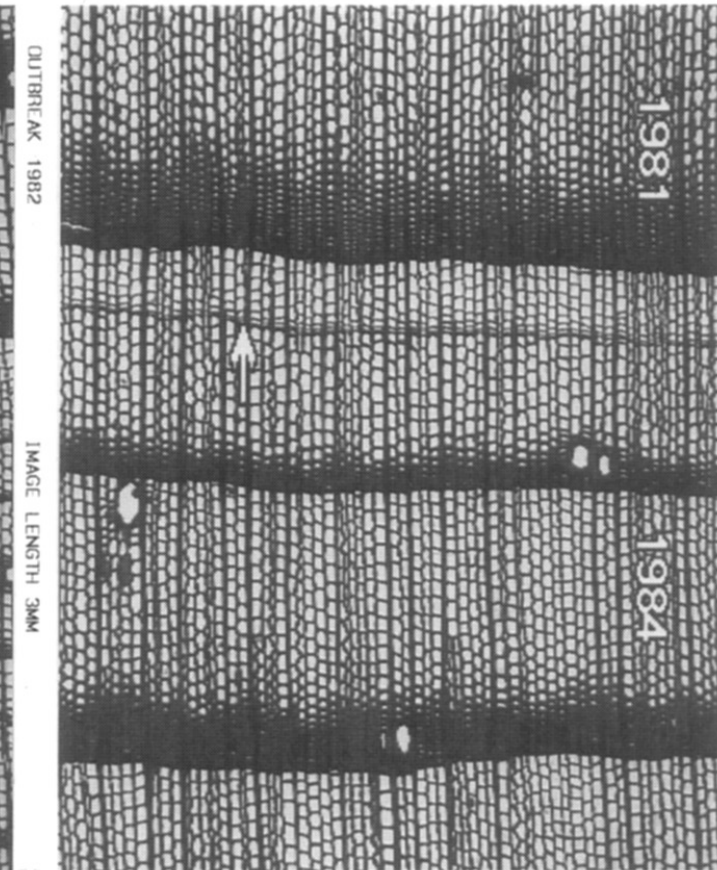
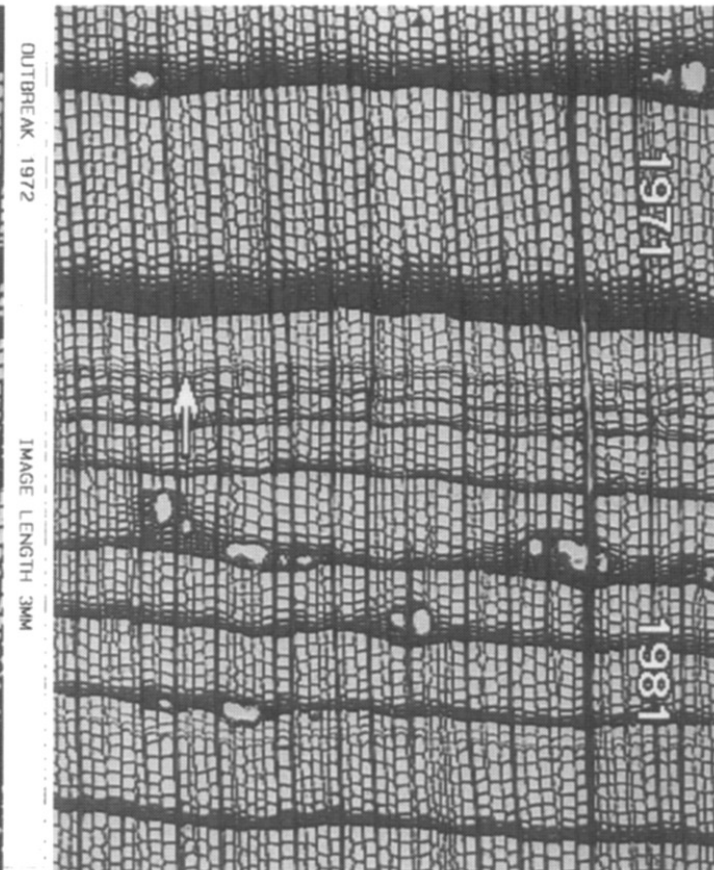
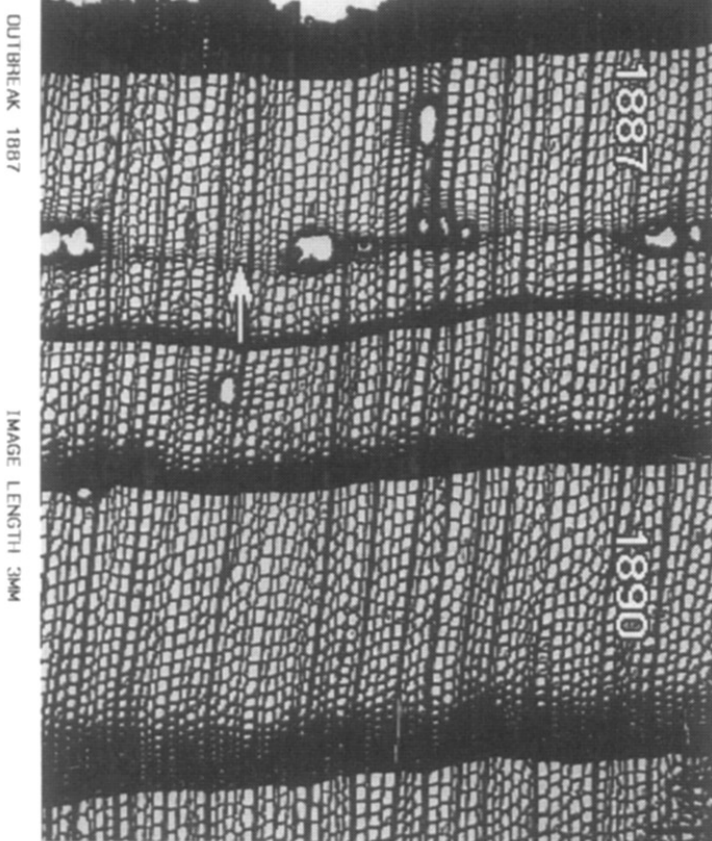


Larix decidua

Zeiraphera diniana

Vale de Goms

Vale de Engadine

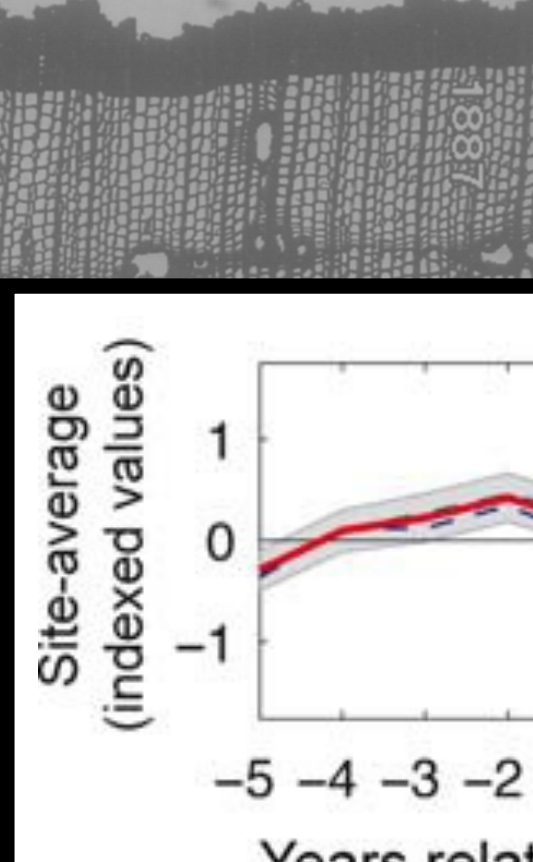


Vale de Goms

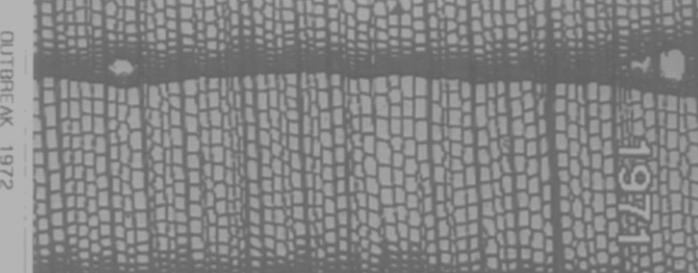
Vale de Engadine



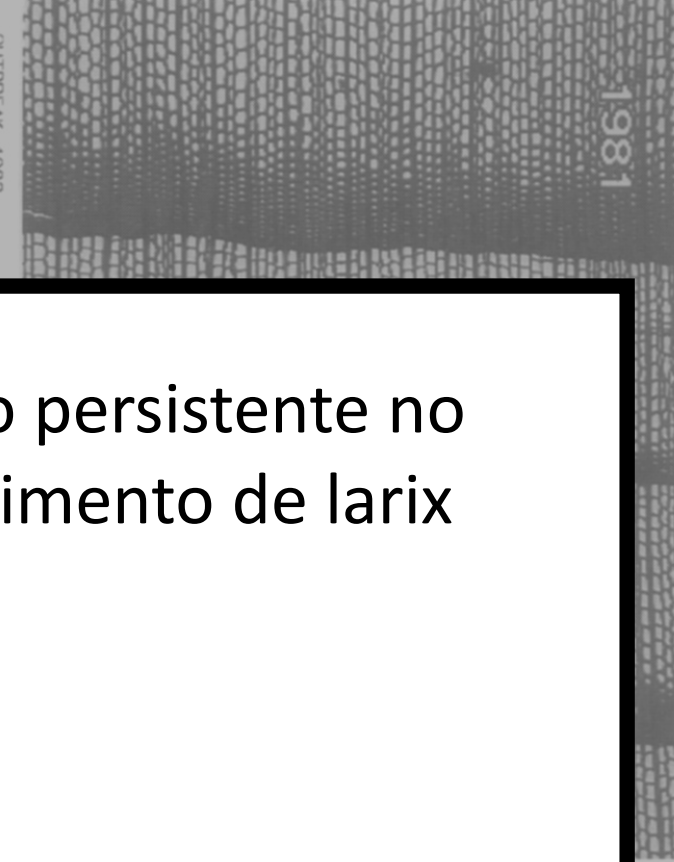
OUTBREAK 1887



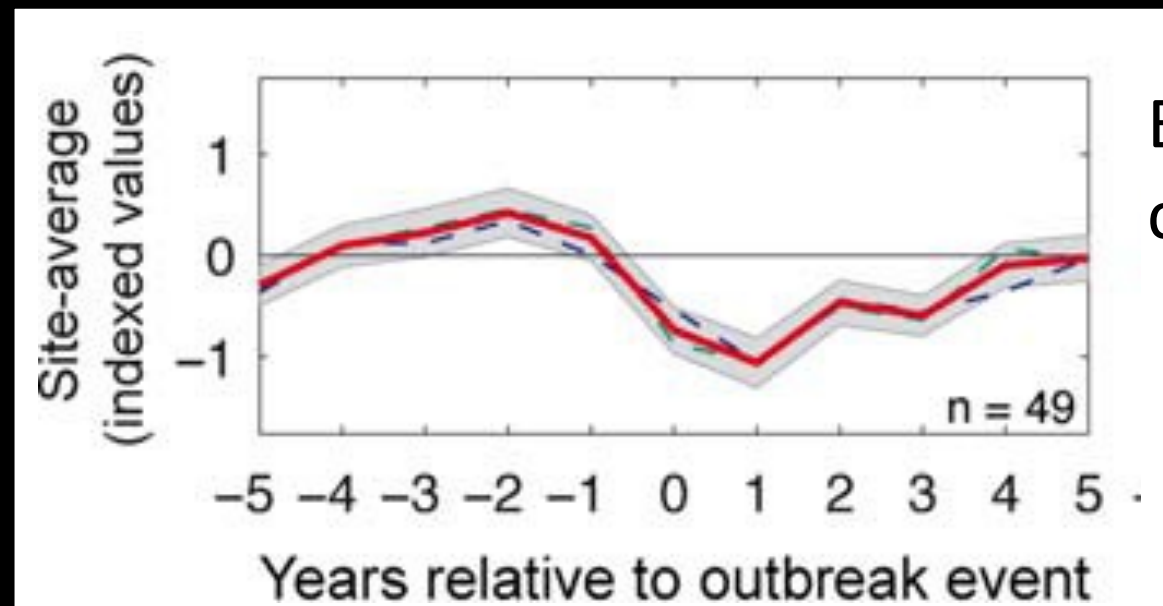
OUTBREAK 1972



OUTBREAK 1982

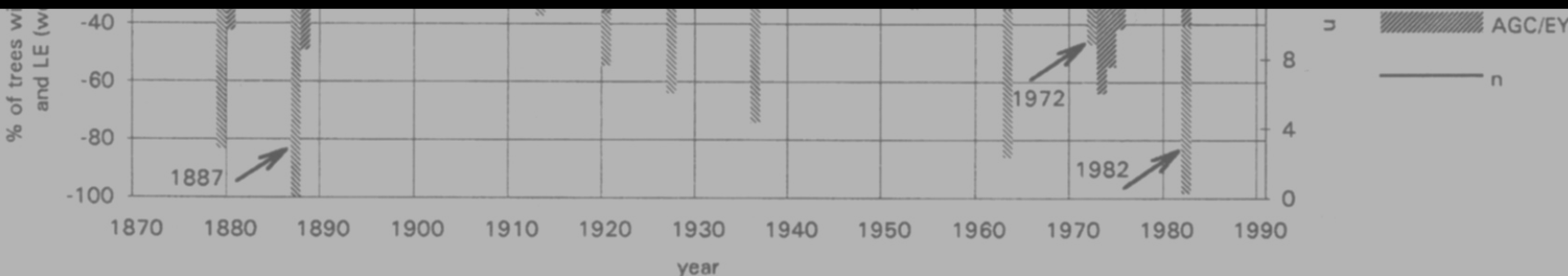


1981



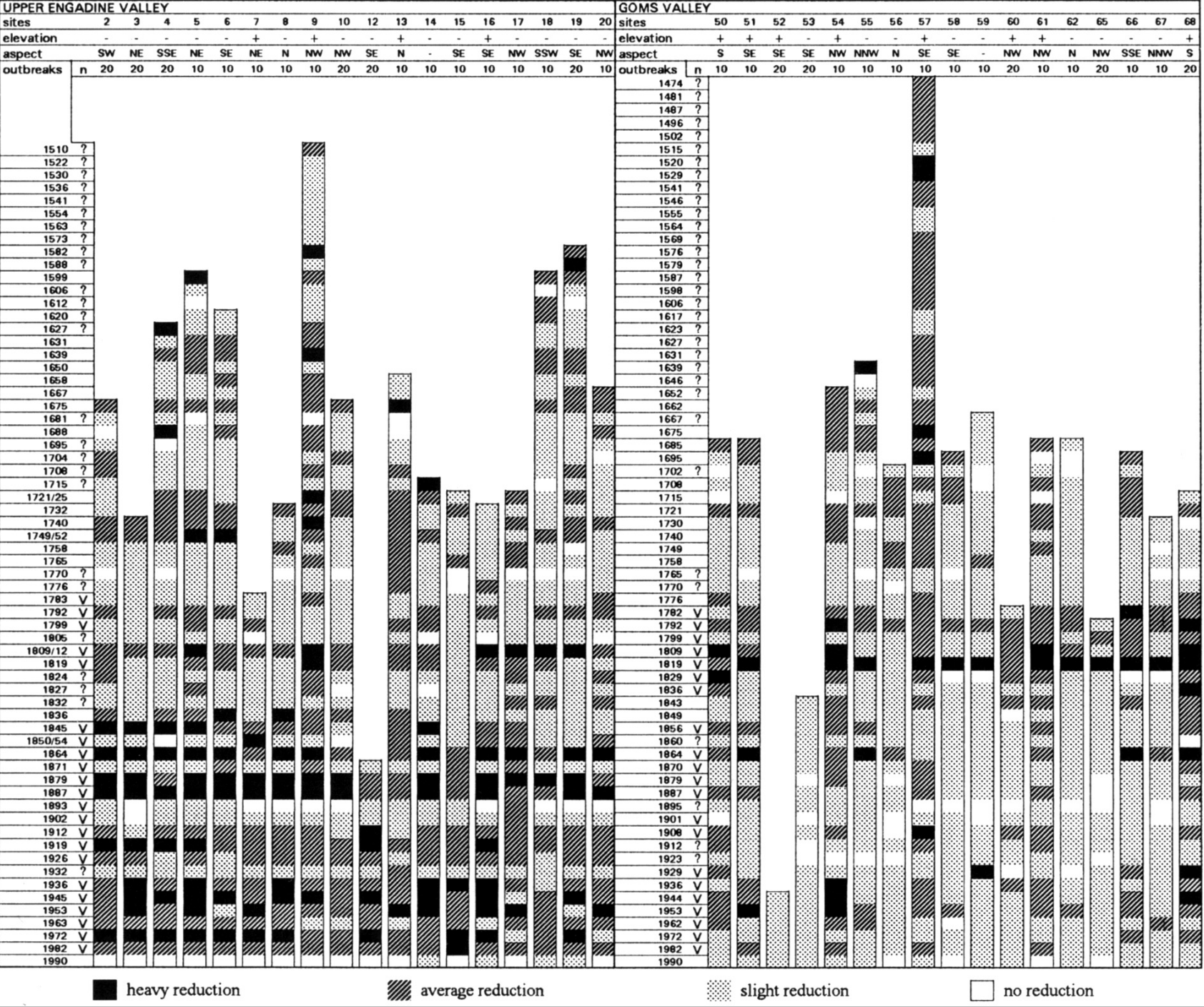
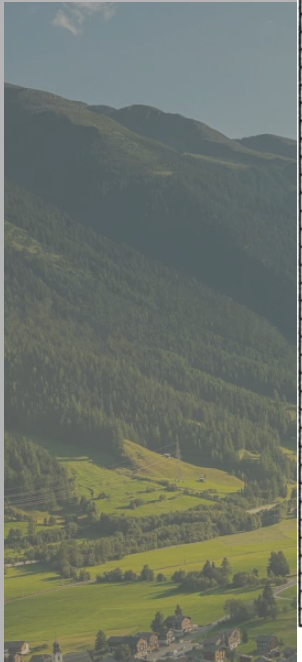
Efeito persistente no crescimento de larix

Kress et al 2009 Oecologia 160: 353-365



Vale de Goms

Vale de Engadine



niana

